

酸素·アルカリ 蒸解의 脱リグニン에 関한 動力学的 分析*

趙炳默*² · 辛東韶*³

The Kinetics of Delignification in Oxygen-Alkali pulping*

Byoung Muk Jo*² · Dong So Shin*³

要 約

本研究에서는 酸素·アルカリ 蒸解의 リグニン 溶出運動을 考察하기 为해 잣나무 (*Pinus koraiensis S. et Z.*) 木粉을 供試하여 110°C, 120°C, 130°C, 140°C 및 150°C의 5水準 温度로 60分間 1段 等温 酸素·アルカリ 脱リグニン 处理를 行한 後, 그 脱リグニン 反応速度, 活性化에너지 및 反応時間別 알칼리와 酸素의 消費動向을 動力学的 方法으로 明確하였다. 그 結果를 보면 脱リグニン은 反応初期에 全リグニン 含量의 2/5가량이 急速히 溶出되는 初期 酸化反応을 나타냈다. 脱リグニン 反応의 速度常数(K)는 反応温度 150°C의 경우, 소오다法에 比해 3倍程度 더 커졌다. 본 法의 活性化에너지 값은 크라フト나 소오다 젤프法 보다 1/3程度 낮은 水準이었다. 알칼리 소비량은 酸素의 경우와 마찬가지로 反応初期에 純投入量의 1/2가량이 급속히 소모된 후, 완만한 消費趨勢를 보였다. 脱リグニン 反応速度는 종래 과정中 생성되는 有機酸 때문에 pH가 감소됨에 따라 크게 영향을 받았다. 또한 蒸解溶出된 리그닌은 잘 沈殿되지 않을 만큼 低分子化 됨을 알 수 있었다. 리그닌의 醣溶基는 급속히 減少되는데 反해, 增加性 하이드록실基, 카보닐基 및 카복실基는 增加추세를 보였다.

ABSTRACT

In order to obtain more detailed information concerning the degradation of lignin in the oxygen-alkali pulping, single stage isothermal delignification of pine wood meal (*Pinus koraiensis S. et Z.*) was studied in the oxygen-alkali system at five temperature levels (110°C, 120°C, 130°C, 140°C, 150°C) for 60 min.. The rate constant, activation energy, oxygen and alkali consumption during the oxygen-alkali delignification were determined by the kinetic method. The 2/5 of total lignin was eliminated at the start of the reaction. The delignification rate constant was about 3 times that of caustic soda pulping. The activation energy was about 1/3 lower than in caustic soda pulping. Like oxygen consumption, alkali consumption was also rapid early at the reaction and almost ceased after about 10 min.. The degradation reaction of lignin was strongly dependent upon the pH decrease of the cooking liquor by organic acid generated in pulping. The lignin in the oxygen-alkali pulping degraded into lower molecular weight and had more hydrophilic properties. The methoxyl group decreased considerably at the first of oxygen-alkali delignification, while the carbonyl, carboxyl and phenolic hydroxyl group increased rapidly.

Key words: delignification; oxygen-alkali pulping.

緒論

木材는 多糖類인 炭水化物과 高, 低分子 리그닌을 主構成分으로 하는 有機複合体로서 蒸解時 이들 木

材成分과 蒸解液 間에는 主로 不均一 化学反応이 일어나게 된다. 따라서 木材로부터 젤프를 製造할 때는 可及의 炭水化物은 損傷시키지 않으면서 리그닌만을

*1. 接受 5月22日, Received May 22, 1982.

*2. 江原大学校 林科大学 College of Forestry, Kangweon National University, Chuncheon, Korea.

*3. 서울大学校 農科大学 College of Agriculture, Seoul National University, Suwon, Korea.

選択的으로 攻擊하여 이를 低分子化 내지 可溶化한 後 溶出시키는 것이 要諦이다. 이러한 方向에서 그 동안 많은 試行錯誤를 거쳐 亜黃酸 펄프화 및 크라프트 펄프화 等과 같은 効率의 펄프화 理論이 定立되었다.

그러나 近年에 와서 漸次 深化되는 木材資源의 枯竭과 펄프, 製紙工業에 對한 強力한 汚染防止의 要求는 도저히 既存의 펄프화法 만으로는 이에 대처할 수 없는 狀況에까지 이르게 되었다. 이에 따라 "high yield non-pollution chemical pulping technique"이라는 새로운 펄프화 概念이 1970年代 초반부터 非常한 관심속에 胎動하기 始作하였다. 이러한 아이디어는 곧 既存의 펄프화 工程에서 問題視되었던 黃化合物이나 塩素化合物대신 셀룰로오스의 봉괴를 最大한 抑制하면서도 보다 効果의 脱리그닌을 促進시키는 機能의 蒸解藥品으로 木材칩을 蒸解하므로서 汚染物質을 排出시키지 않고 高收率의 펄프를 얻고자 하는 것이다. 리그닌의 除去를 위해 最初로 藥品을 使用한 펄프화 方法은 소오다 蒸解法으로서 木材칩을 수산화나트륨이나 탄산나트륨과 같은 알칼리로 高溫高壓下에 蒸解處理하면 이들이 蒸解過程에서 리그닌에 폐활성 하이드록시 라디칼(phenolic hydroxy radical)을 生成시켜 易溶化를 도모함과 동시에 리그닌의 아릴에테르(aryl ether) 결합을 切斷하여 이를 低分子化한 後, 溶出시킨다. 그러나 알칼리는 이와 동시에 炭水化合物의 還元性 末端基에 對한 펄링反應(peeling off reaction)과 알칼리 加水分解에 依한 글루코오스結合의 開裂反應을 일으켜 이의 低分子化도 急速히 促進시킨다.

이와 같은 소오다法의 결점을 補完하기 为하여 수산화나트륨에 黃化나트륨을 添加하는 크라프트蒸解法이 나오게 되었다. 수산화나트륨에 黃化나트륨을 添加하여 蒸解하면 黃化나트륨의 加水分解에서 生成되는 수산화나트륨의 段階的作用으로 탄수화물에 对한 봉괴를 완화시킴은 물론 黃化水素이온에 依한 脱리그닌의 促進效果를 거둘 수 있다. 즉 크라프트蒸解中の 黃化水素이온은 리그닌의 벤질알코올(benzyl alcohol)型 水酸基, 또는 알킬에테르(alkyl ether)와 反応하여 主로 모노설휴아이드(monosulfide)結合이나一部의 디설휴아이드(disulfide)結合을 生成시켜 리그닌의 2次的 縮合을 抑制하고 이 過程에서 리그닌의 에틸트結合(ether bond)은 알칼리에 依해 切斷되어 低分子化되므로 脱리그닌 促進效果를 높이게 된다.

이와 같이 하여 크라프트蒸解에서는 強度가 極히 우수한 펄프가 얻어지지만 蒸解液中의 黃成分으로

부터 生成되는 黃化水素, 멜캅탄(mercaptan), 디메틸설휴아이드(dimethyl sulfide)等이 惡臭의 原因이 되어 大氣污染이 심각하며 펄프는 짙은 着色으로漂白性이 不良한 결점을 함께 지닌다.

이러한 理由에서 無公害를 指向하는 "sulfur free pulping"의 한 方法으로서 알칼리 溶液에 黃化 소오다대신 酸化力이 強한 酸素를 投入하여 펄프화 하려는 산소·알칼리 펄프화에 对한 研究가 活潑해지게 되었다.

大氣中에 多量으로 包含되어 있는 酸素를 알칼리 存在下에서 리그닌의 除去에 利用하려는 着想은 오래前부터 알려져 왔으나 이때 酸素가 셀룰로오스의 重合度를 현저하게 低下시켜 펄프의 強度를 떨어뜨리기 때문에 酸素·알칼리處理에 依한 펄프製造는 實用化에 이르지 못하였다. 그러나 1960年代에 들어와 셀룰로오스 保護剤로 마그네슘鹽의 効能이 알려짐과 동시에 環境污染防止에 대한 여론이 높아져 酸素·알칼리 蒸解는 無公害 펄프製造法의 龍虎로 크게 부각되면서 표백 및 펄프화에 酸素를 利用하려는 "oxy-gene based pulping & bleaching process"가 發展되어 塩素化合物 및 黃化合物를 代替시키게 되었다. 이러한 背景下에 最近 이에 对한 研究가 더욱 活潑히 遂行되고는 있으나 그 대부분이 주로 리그닌이나 셀룰로오스 모델 化合物의 酸化崩壊에 局限될 뿐 木材自体에 对한 蒸解因子의 영향이나 그 動力學的舉動에 对한 体系의 評價는 少數에 不過한 実情이다.

따라서 本研究에서는 잣나무(*Pinus koraiensis* S. et Z.)를 供試材로 하여 각 蒸解因子의 变化가 脱리그닌 速度와 그 活性화에너지 및 官能基 量과 分子量 分布, 그리고 溶出 및 残存리그닌에 직접적으로 어떤 영향을 미치는지를 動力學的으로 研究하여 针葉樹 푸로토리그닌(proto lignin)의 酸素·알칼리 脱리그닌 現象을 究明코자 하였다.

研究史

리그닌이 알칼리 存在下에서 酸素에 依해 容易하게 酸化分解된 後, 可溶化된다는 事實은 1921年 F. Fisher와 H. Schrader 等에 依해 처음으로 報告되었다.

그後 이 酸素·알칼리 处理에 依한 脱리그닌 理論을 펄프製造에 応用하려는 試圖가 꾸준히 遂行되었다.

酸素를 脱리그닌剤로 使用하기 始作한 것은 1930年 G. A. Richter와 W. G. Campbell等이며, 木材침

을 直接 酸素와 알칼리로 蒸解한 것은 G. C. Harris (1954)와 H. B. Marshall(1954)이 最初이다. 그러나 이들的研究는 試圖는 알칼리 投入量이 너무 높고 蒸解溫度 역시 150°C 以上의 高溫이었기 때문에 바닐린等의 酸化物이 염여졌을 뿐만 아니라 収率이極히 낮고 炭水化合物의 봉과가 심해 実用化되지 못하고 말았다. 그後에도 이와 類似한 研究가 뒤따랐으나 모두 脱리그닌과 炭水化合物의 봉과面에서 酸素을 使用치 않는 소오다法 蒸解에 比해 劣等하여 工業化되지 못하였다. 그理由는 침 内部에로의 酸素침투가 어려워 蒸解가 不均一하여 溶存酸素의 濃度를 높이기 위해 高压의 酸素压力를 쓰지 않을 수 없고 봉과가 심해 紙의 収率이 낮을뿐 아니라 強度마저 좋지 않은 等의 缺點을 드러냈기 때문이다.

그後 A. Robert(1964)等이 炭水化合物의 崩壊防止剤로써 마그네슘鹽, 특히 碳酸마그네슘이 有効함을 알아냄으로써 비토소 酸素·알칼리 蒸解에 依한 紙製造 및 漂白法 工業化에 契機를 마련하게 되었다.

S. E. O. Noreus와 O. Samuelson(1970)은 木材침을 初期에 끓은 알칼리溶液과 酸素로 蒸解하다가 途中에 수산화나트륨을 追加함으로써 収率이 向上된 高白色度 紙를 얻을 수 있음을 밝혔다.

J. H. Miner와 N. Sanyer(1974)는 針葉樹침을 pH 8.0~9.5의 알칼리溶液中에서 温度 100~125°C로 酸素·알칼리 蒸解하여 비록 強度는 약간 낮으나 同一水準의 kappa值를 지닌 크라프트 펄프보다 12%程度 더 収率이 높은 펄프를 製造하였다.

또 이들 兩人은 두께 1mm의 소나무 후레이크(flake)를 酸素·탄산나트륨 1段 蒸解하여 引裂強度를 除外한 諸般 強度가 크라프트 펄프와 거의 비슷하고 白色度도 높은 펄프를 얻었다.

日本 東洋栲에서 採用하고 있는 Hopes-Doddel法에서는 1基의 카미야 다이제스터(kamyr digester)를 使用하여 木材침의 수산화나트륨 前處理 蒸解와 酸素·수산화나트륨 蒸解를 同時に 行하는데 성공하는 등 상당한 기술적 진척이 있긴 했으나 直接 木材침으로부터 酸素·알칼리 1段 蒸解로 化學펄프를 製造하는데는前述한 여러 가지 難點이 있기 때문에 2段蒸解가 광범위하게 檢討되었다.

W. J. Connors(1975), P. Kleppe(1970), H. E. Worster(1974), A. G. Jamieson(1975), M. Nakamura(1975), R. D. McKelvey(1978) 等은 木材침을 우선 알칼리로 前處理 蒸解하여 離解機로 解纖한 後, 2段階處理로 酸素·알칼리 蒸解를 行해 脱리그닌시키는 方法을 適用하였다.

K. Hata와 M. Sogo(1975)는 두께 1.5~3.0mm의 소나무 및 너도밤나무침을 2段處理의 酸素·알칼리蒸解로 半化學펄프를 製造한 結果, 中性亜黃酸 半化學펄프(NSSC)에 類似한 強度의 高收率 펄프를 얻었음을 報告하였다.

H. E. Worster(1974) 等은 亜黃酸소다-酸素·알칼리 2段 蒸解로 크라프트 펄프보다 7~15%나 더 収率이 높은 펄프를 製造할 수 있음을 밝혔다.

T. Nagano(1974) 等은 木材침을 탄산나트륨으로 蒸解, 解纖한 後, 바로 酸素·炭酸나트륨 蒸解로 化學펄프를 製造하고 廉液은 湿式燃燒法으로 处理하여 탄산나트륨은 回收, 再使用할 수 있는 方法을 報告하였다.

J. S. Fujii(1978) 等도 역시 두께 1~2mm의 木材침을 酸素·重炭酸 나트륨 蒸解하여 52~55%의漂白펄프를 얻고 湿式燃燒法으로 廉液을 回收하였다.

J. Kido(1973) 等은 자작나무의 아스플란트 펄프를 酸素·알칼리蒸解하여 白色度 60% 程度의 펄프를 얻고, 이때의 廉液를 分析한 바 크라프트 펄프나 소오다펄프보다 색깔이나 化學的 酸素要求量(COD) 等이 현저하게 낮음을 밝혔다.

또 R. Marton(1975) 等은 热機械펄프를 酸素·알칼리蒸解하여 얻은 製紙用 펄프는 크라프트 펄프보다 製斷長과 破裂強度가 훨씬 우수함을 밝히고 引裂強度가 낮은 原因은 热機械의 前處理解纖時의 機械的 손상때문이라고 說明하였다.

A. G. Jamieson(1975) 等은 重炭酸 나트륨으로 자작나무침을 蒸解, 解纖한 後, 酸素·炭酸나트륨 2段處理 蒸解로 低 Kappa值의 高收率 펄프를 製造하였다.

이밖에 D. H. Andrews(1979) 等은 소오다·안스라퀴는 펄프를 다시 酸素·알칼리 蒸解하여 脱리그닌 시킨 結果,同一 kappa值의 크라프트-酸素·알칼리 2段處理의 펄프보다 粘度가 낮아짐을 밝혔다.

한편, J. E. Evan(1979) 等과 I. A. Yrjala(1978) 等은 液比를 크게 한 低濃度 酸素 脱리그닌이 纖維와 溶存酸素의 結合機會를 增大시키고 均一한 混合을 유도하여 高濃度 脱리그닌의 경우보다 더 効率的임을 報告하였다.

그러나 H. M. Chang(1974) 等은 펄프濃度 15%에서 25%까지의 濃度變化에 따른 酸素·알칼리 蒸解時 間別處理 펄프의 kappa值를 測定한 結果, 오히려 알칼리 投入量의 경우 15%에서 脱리그닌이 느리다고相反된 주장을 하고 있다.

P. M. Brumby(1968) 等은 라지에다 소나무와 유

칼리나무의 酸素漂白化에서 펄프의 kappa值를 10單位 低下시키는데 約 1.1%의 알칼리投入이 必要함을 証명하였으며 P. F. Nelson(1977) 等은 두께 1mm의 *P. ellotti*의 후레이크를 使用하여 酸素蒸解過程에서의 알칼리投入量 및 蒸解溫度의 變化에 따른 펄프品質과 酸素溶解度를 測定, 報告하였다.

酸素·알칼리 蒸解에서의 脱리그닌 様相과 그 物質의 消費에 관해서 살펴보면 L. Olm(1979) 等은 酸素·알칼리處理 脱리그닌이 初期의 "rapid initial delignification stage"와 후반의 "slow final delignification stage"의 2段階 模擬一次反應(pseudo-first order reaction)으로 이루어짐을 밝혔다.

K. Abrahamsson(1979) 等은 또 자작나무와 전나무 木粉의 酸素·重炭酸나트륨 蒸解時, 酸素消費量을 測定한 報告에서 開葉樹인 자작나무가 針葉樹인 전나무의 경우보다 그 消費量이 훨씬 낮음을 突明하였다.

D. Pal(1976) 等은 유칼리 木粉을 酸素·알칼리蒸解했을 때의 알칼리濃度別에 따른 펄프의 粘度 및 kappa值의 變異關係를 밝혔다. N. Hartler(1970) 等은 크라모트펄프의 酸素·알칼리 脱리그닌의 경우, kappa值의 低下에 要求되는 活性化 自由에너지가 16.5Kcal/mole 수준임을 밝혔다.

한편 酸素·알칼리 蒸解의 脱리그닌 機構에 関해서는 K. Krazel(1977), J. Nakano(1973) 等이 酸素·알칼리 蒸解液中の 酸素는 하이드록시 라디칼(-OH)이나 하이드로퍼록시 라디칼(-OOH)로서 리그닌과 반응하는데 이때 리그닌은 酸素의 電子吸引에 依해 各種 캐녹시 라디칼(phenoxy radical) 및 벤질 라디칼(benzyl radical)을 生成하게 되며 여기에 -OH나

-OOH 라디칼이 반응해서 리그닌의 低分子化가 이루어진다고 하였다. 따라서 現在까지의 여러 모멘 実驗結果를 総合한 리그닌의 低分子化 경로는 캐녹시 라디칼에서부터 사이クロ헥사디에논 하이드로퍼록사이드(cyclohexadienone hydroperoxides)를 거쳐 側鎖의 脫離, 芳香核의 開裂 및 脱媒체질이 일어나는 것으로 의 전시 被혀지고 있다.

T. Oki(1976) 等은 구아이아실 글리세롤- β -콰이아이신이 에테르(guaiacyl glycerol- β -quaiacyl ether)의 酸素·알칼리 处理에서 아릴에네트結合의 切斷이 比較的 容易하여 T. Aoyagi(1977) 等은 리그닌의 側鎖 α 位置에 카보닐基가 있는 경우 α 와 β 位置의 炭素間 開裂이 容易하게 일어나는지를 밝혔다. 由酸素·알칼리 蒸解液에서 單離한 리그닌의 官能基는 M. Sogo(1973)가 밝힌 바와 같이 全水酸基와 异性水酸基도 역시 높아나게 된다. 同時に 水溶性 리그닌도 15~30%程度 많아 결국 酸素·알칼리蒸解過程에서 리그닌은 다른 펄프化法에서보다 더 酸化 및 低分子化率이 높혀지고 있다.

材料 및 方法

1. 供試材料

1.1. 供試木

江原大學校 林科大學 附屬演習林 6林班(江原道 洪川郡 北方面 北方里)에서 生長이 良好한 45年生 것 나무(*Pinus koraiensis* S. et Z.)를 選定 伐採하여 供試木으로 하였다.

供試木은 Table 1과 같다.

Table 1. Age, DBH and height of Korean pine

Species	Age (yr.)	DBH (cm)	Height (m)	Locality
<i>P. koraiensis</i>	45	32	13	Bukbang-Ri, Bukbang-Myoun, Hong cheon-Gun, Gangweon-Do

1.2. 供試木 調製

TAPPI Standard T11m-59의 試料採取 및 調製方法에 따라 供試木으로부터 30cm 두께의 원판을採取하여 텁밥을 낸 後 wiley mill로 이를 粉粹하고 이어 표준체로 篩分하여 40~60mesh의 木粉을 調製하였다. 調製한 木粉은 実驗室內에서 含水率 8.5%까지 風

乾시켜 供試하였다.

2. 実驗方法

2.1. 酸素·알칼리蒸解 脱리그닌化

40~60mesh의 供試木粉 5g(全乾부재基準)과 수산화나트륨 蒸解液을 液比 1:10의 比率로 100mL容

Table 2. Reaction conditions for oxygen • alkali delignification of pine wood meal

Cooking No.	Cooking temp. (°C)	NaOH charge (% on wood)	Oxygen pressure (kg/cm ² at 20 °C)
1	110	8	9
2	120	8	9
3	130	8	9
4	140	8	9
5	150	8	9
6	150	4	9
7	150	6	9
8	150	10	9
9	150	12	9
10	150	8	5
11	150	8	7
12	150	8	11
13	150	8	13

Liquor to wood ratio, 10:1

Reaction time, 60 min.

積의 스테인레스鋼製 봉베 (stainless steel bomb)에 함께 投入한 後, 진공펌프로 봉베 내를 約 10分間 10⁻³ Torr까지 排氣시켰다가 20°C에서 所定 壓力까지 酸素를 壓入하여 Table 2의 条件으로 脱리그닌을 行하였다.

蒸解는 Fig. 1에서와 같이 폴리글리콜 (polyglycol)槽에 봉베를 沈積시킨 後 最高溫度에서 維持時

間을 60分 水準으로 固定하여 处理하였다. 이때 酸素의 溶解를 높고 均一한 反応을 유도하기 為해 봉베 内에 태프론 内裝의 磁石式 棒(magnetic stirring bar)을 넣어 400 rpm 速度로 교반하였다.

2.2. 脱리그닌 反応速度의 測定

(1) 脱리그닌反応 速度常数(k)의 測定

等温脱리그닌 過程에서 最高溫度 維持時間 每10分마다 経時的으로 klason法에 의한 残存리그닌을 定量하여 이 残存리그닌의 常用對數 値을 Y軸에, 그리고 X軸에 反応時間은 取하여 直線 半對數 그래프를 얻은 다음, 다음式으로 脱리그닌 反応速度常數를 求하였다.

$$-\frac{d\ell}{dt} = k(\ell - \ell_0 t), \quad k = \log(\ell_0 - \ell_0 t)$$

여기서

$\frac{d\ell}{dt}$: Rate of delignification

k : Rate constant

ℓ_0 : Lignin content at zero time

ℓ_t : Lignin content at time t respectively

(2) 脱리그닌의 活性化 에너지(E) 測定

Arrhenius equation으로부터 E값을 求하기 위해 Y軸에 各 反応速度常数(k)의 自然對數 值을 代入하고 X軸에 反応絕對溫度의 逆數를 取해 一次 方程式의 直線그래프를 얻은 다음, 그 기울기를 求하여 脱

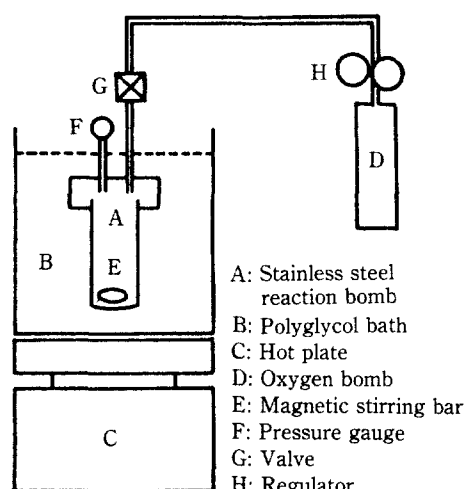


Fig. 1. Reactor for oxygen•alkali delignification.

리그닌의 活性化에너지(activation energy)를 算出하였다.

$$k = Ae^{-E/RT}$$

$$\log k = \log A - (E \log e/R) 1/T$$

여기서 $\log A$ 는 이 방정식의 切片 값이고 $E \log e/R$ 는 가울기이다. 따라서 E 가 T 에 依存하기 때문에 $\log k$ 와 $1/T$ 와는 直線關係가 成立된다.

k : Rate constant

E : Arrhenius activation energy, cal/g·mole

Ae : Frequency factors

R : Universal gas constant, cal/g mole °K

T : Absolute temperature, °K

2.3. 酸素· 알칼리蒸解過程에서의 알칼리消費
蒸解前 蒸解液中の 수산화나트륨을 0.1N 塩酸으로滴定하여 그量을測定한 다음, 蒸煮完了 廉液內의 수산화나트륨을 다시 0.1N 塩酸으로滴定하여 残餘 알칼리量을求해 그差로消費量를算出하였다.

$$\text{Alkali consumption (\%)} = \frac{A-B}{A} \times 100$$

여기서

A : Amount of alkali in cooking liquor

B : Residual amount of alkali in waste liquor after reaction

2.4. 酸素· 알칼리蒸解過程에서의 酸素消費

供試木粉과 蒸解液의 投入 및 酸素圧入을 完了한 20°C下에서의 봄베內 酸素圧力を 정밀ガス圧力計로 정확히 읽어 反応前의 酸素圧을求한 다음, 蒸解完了後 즉시 봄베를 冷水로 20°C까지 急冷시켜 이때의 酸素圧을 取하여 이 蒸解前後의 酸素圧력을 van der Waals式에 代入하여 消費된 酸素量을 定量하였다.

이때 含水率 8.5%의 木粉을 絶乾量 基準 5g이 되도록 供試하였으므로 木粉中の 水分이 0.46g인 바 그 容積은 吸着水의 密度를 기준하여 $0.46/1.21$ 의 計算에서 0.38mℓ이 된다.

다음 絶乾木粉 5g이 차지하는 實質容積은 全乾木材真比重인 1.53을 기준으로 하여 $5.0/1.53$ 에서 3.27mℓ로 計算된다. 따라서 風乾木粉 5.46g과 蒸解液 49.62mℓ를 100mℓ容積의 反応봄베에 投入한 本實驗에서 酸素가 点하는 空間容積은 $100 - (49.62 + 3.27 + 0.38) = 46.73$ (mℓ)이었다. 이 값을 式에 代入하여 酸素消費量을求하였다.

$$P = \frac{RT}{V-b} - \frac{a}{V^2} \quad n_1 - n_2 = 0.00104 (P_1 - P_2)$$

여기서

P : Oxygen pressure, kg/cm²

V : Gas volume, ℓ

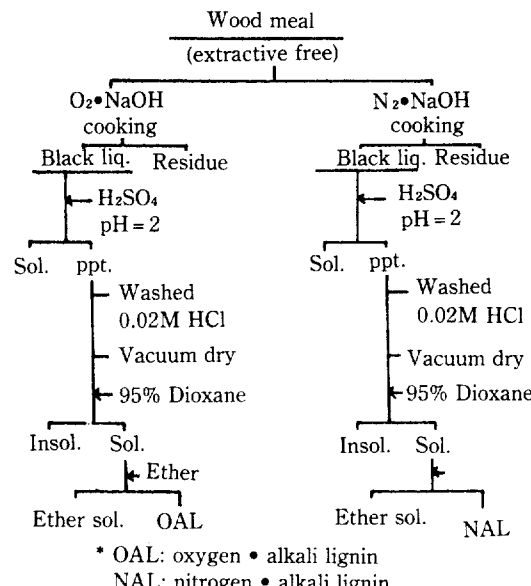
R : Universal gas constant, 0.08205ℓ·atm/mole·°K

a : Constant, 1.360 ℓ²·atm/mole²

b : Constant, 0.03183 ℓ/mole

n_1 : Mole. of O₂ at P₁ pressure

n_2 : Mole. of O₂ at P₂ pressure



* OAL: oxygen • alkali lignin

NAL: nitrogen • alkali lignin

Fig. 2. Isolation of lignin preparation.

2.5. 酸素· 알칼리蒸解 리그닌의 定量

蒸解完了後, 蒸解 廉液을 回收하여 Fig. 2에 図示한 바와 같이 먼저 黃酸을 加해 pH 2水準에서 침전물들을 얻고 이 침전물을 塩酸溶液으로 洗淨한 다음 五酸化磷과 固型 수산화나트륨上에서 真空乾燥시켜 溶出粗리그닌(crude dissolved lignin)을 定量하였다.

다음 蒸解殘渣에 對해 klason法으로 残存리그닌量을 定量하여 木粉의 리그닌量으로부터 그差를求해 리그닌의 溶出百分率를 算出하였다. 이어 (木粉리그닌量 - 残存리그닌量) / 溶出粗리그닌量의 計算方法으로 廉液中에 溶存되어 있는 水溶性 리그닌量을求하였다.

溶出粗리그닌에 對해서는 이를 다시 10倍量의 95%디옥산으로 溶解시키 다음 이어 15倍量의 에텔로에 注入해 디우산 可溶部, 디우산 不溶部 및 에텔로可溶部로 区分하여 溶出 全리그닌量에 對한 각各의 百分率를 計算하였다.

2.6. 酸素· 알칼리蒸解 溶出 및 残存 리그닌의 官能基 定量

(1) 媒體基의 定量

TAPPI Standard T209su-72에 따라 媒體基

測定 장치의 反応후라스크에 絶乾試料 60mg을 정확히 取해 넣은 다음, 콘센트를 通過 檢출러리를 트랩의 $\frac{1}{2}$ 가량 채우고 受器에 15mℓ의 브로마인(bromine) 溶液과 2mℓ의 푸로피온酸(propionic anhydride)을 퍼스트으로 加하였다.

다음 6mℓ의 요드化水素酸(hydriodic acid)을 添加한 即時 반응 후라스크를 콘센트에 부착시키고 이어 후라스크의 側枝를 炭酸ガス供給機에 연결하였다.

그리고나서 秒當 2 방울程度의 比率로 炭酸ガス를 通過시키면서 150°C의 油浴(oil bath)에서 40分間 加熱處理를 行하였다. 가열終了後 500mℓ 엘렌 마이어 후라스크에 10mℓ의 조산나트륨溶液을 取해 이 solution으로 受器의 内容物을 세척하고 이어 물을 加해 125mℓ로 회색시킨 다음 브로마인의 갈색이 사라질 때까지 캐미酸을 加해 교반하다가 다시 5~6 방울의 캐미酸을 添加하여 3分間 放置하였다.

3分後 3g의 요드화카리와 15mℓ의 黏은 黃酸을 加하고 나서 바로 0.1N 치오黃酸소오다($\text{Na}_2\text{S}_2\text{O}_3$) solution으로 淡黄色이 나타날 때까지 적정하다가 전분指示藥을 加해 青色이 사라질 때까지 적정을 계속하여 다음式으로 메톡실基를 定量하였다.

$$\text{CH}_3\text{O}(\%) = \frac{(A-B)N \times 0.00517 \times 100}{W}$$

여기서

A : mℓ of $\text{Na}_2\text{S}_2\text{O}_3$ solution required for the specimen

B : mℓ of $\text{Na}_2\text{S}_2\text{O}_3$ solution required for the blank

N : Normality of $\text{Na}_2\text{S}_2\text{O}_3$ solution

W : Moisture free weight of the specimen in grams

0.00517 : Methoxyl in g equivalent to 1mℓ of normal thiosulfate solution

(2) 카보닐基의 定量

試料 10mg을 디옥산(dioxane)對 물의 比率을 4:1로 한 混合液으로 溶解시킨 다음 하이드록실아민試藥으로 이를 환류생각下에 加熱反應시켜 이때 유리된 塩酸을 수산화나트륨으로 적정하여 카보닐基를 定量하였다.

$$\text{Carbonyl}(\%) = (A-B) \times N \times 28.01 / 10W$$

여기서

A : ml of NaOH solution required for the blank

B : ml of NaOH solution required for the specimen

N : Normality of NaOH solution

W : Moisture free weight of the specimen in grams

※ Hydroxyl amine試藥

鹽酸하이드록실아민 40g을 물 80mℓ와 95%에틸알코올로 회색하여 1,000mℓ로 한 것에 0.75M 수산화나트륨/에틸알코올 400mℓ 및 0.4% 부롬페놀부루指示藥(bromphenol blue indicator)을 添加하여 製造.

(3) 카복실基의 定量

試料 15mg을 0.1N 塩酸 25mℓ에 섞어 슬러리를 만든 後, 常溫에서 24時間 放置하였다가 이를 글라스월타로 여과한 다음 여과 残渣를 증류수로 塩素가 檢出되지 않을 때 까지 세척하였다. 여기에서 나온 여과液과 세척液을 비이커에 옮기고 300mℓ의 증류수를 加해 油浴(oil bath)에서 30分間 加熱處理하였다.

加熱終了後 0.1N 수산화나트륨溶液으로 이를 滴定하여 다음式으로 카복실基를 定量하였다.

$$\text{Carboxyl}(\%) = \frac{(A-B) \times N \times 4.5}{W}$$

여기서

A : mℓ of NaOH solution required for the specimen

B : mℓ of NaOH solution required for the blank

N : Normality of NaOH solution

W : Moisture free weight of the specimen in grams

(4) 페놀性 하이드록실基의 定量

試料 5mℓ을 디옥산 对 물의 比率을 9:1로 한 混合液에 溶解시켜 10mℓ로 한 다음, 이中 2mℓ를 取하여 0.2N 수산화나트륨溶液 5mℓ와 디옥산을 함께 加해 10mℓ가 되도록 하여 이를 알칼리性 試料溶液으로 하였다.

이어 수산화나트륨溶液 대신 0.2N 塩酸으로 위와 同一한 方法下에 酸性 試料溶液을 調製하였다.

다음 紫外線分光光度計(Unicam Model SP-700 Double beam ultraviolet spectrophotometer)의 試料側에 알칼리性 試料溶液을, 그리고 対照側에 酸性 試料溶液을 넣어 示差吸收 스펙트라를 求하여 ΔE_{λ} 스펙트라를 얻었다.

다음 300nm부근의 示差吸光係数 Δa_{\max} 로 부터 다음式에 依해 페놀性水酸基를 定量하였다.

$$\text{Phenolic hydroxyl}(\%) = \frac{17 \times \Delta a_{\max}}{4,000} \times 100$$

$$\text{여기서 } \Delta a_{\max} : \frac{\Delta A_{\max}}{g/\ell}$$

2.7. 溶出 및 残存 리그닌의 分光 스펙트라 测定

溶出 및 残存리그닌에 대해 1mg씩의 리그닌試料를 400mg의 臭化칼리움(KBr)과 잘 混合시켜 定剤製造機로 臭化칼리움錠剤를 만든 다음 赤外線 分光光度計(Perkin Elmer Model 337 Infrared spectrophotometer)를 使用하여 각 리그닌試料의 赤外線 吸收 스펙트라를 测定하였다.

2.8. 酸素・알칼리蒸解 溶出 리그닌의 分子量 分布 测定

2 cm $\phi \times 40\text{cm}$ 크기의 유리컬럼(column)에 다 48時間동안 완충액(buffer solution)으로 쟁윤시킨 Sephadex G-100을 充填하여 젤 여과(gel filtration)를 行하였다.

이때 試料液으로는 피페으로 3 m ℓ 의 蒸解廢液을

取하였으며 溶媒로는 수산화나트륨 0.3g/ ℓ 및 重炭酸나트륨 0.3g/ ℓ 濃度의 混合 水溶液을 使用하였다

流出速度는 80m ℓ /hr.로 조절하였고 후백손콜렉터(fraction collector)로 每 20m ℓ 마다의 流出液을 石英セル(quartz cell)에 넣어 分光光度計로 280nm에서의 吸光度를 测定하여 分子量分布圖를 作成하였다.

結果 및 考察

1. 酸素・알칼리蒸解 脱리그닌에 미치는 反応因子의 影響

1.1. 反応温度 및 反応時間의 影響

Table 3은 리그닌 含量이 28.8%인 잣나무 供試木粉을 각각 110°C, 120°C, 130°C, 140°C 및 150°C의 最高反応温度로 60分間 等温脱리그닌 处理(isothermal delignification)한 結果이다.

Table 3. Isothermal delignification in oxygen-alkali cooking of Korean pine wood meal

Reaction temp.(°C)	Reaction time (min.)	Replication			Total	Mean	S.D.
		I	II	III			
110	0	28.8	28.8	28.8	86.40	28.80	0
	10	24.2	24.4	24.3	72.90	24.30	0.099
	20	22.8	23.5	23.4	69.70	23.23	0.378
	30	21.7	22.3	22.1	66.10	22.03	0.305
	40	20.7	20.8	20.4	61.90	20.63	0.208
	50	18.7	19.2	18.9	56.80	18.93	0.251
	60	17.8	18.0	17.4	53.20	17.73	0.305
120	0	28.8	28.8	28.8	86.40	28.80	0
	10	23.2	22.7	22.8	68.70	22.90	0.264
	20	21.3	21.8	21.7	64.80	21.60	0.264
	30	20.6	20.3	20.4	61.30	20.43	0.152
	40	19.5	19.0	19.2	57.70	19.23	0.251
	50	18.2	17.8	17.6	53.60	17.87	0.305
	60	16.4	16.1	16.3	48.80	16.27	0.152
130	0	28.8	28.8	28.8	86.40	28.80	0
	10	21.3	21.4	21.0	63.70	21.23	0.208
	20	19.4	19.5	19.9	58.80	19.60	0.264
	30	18.2	17.9	17.8	53.90	17.97	0.207
	40	16.9	16.5	17.0	50.40	16.80	0.264
	50	15.1	15.7	15.3	46.10	15.37	0.305
	60	14.1	13.7	13.5	41.30	13.77	0.305
	0	28.8	28.8	28.8	86.40	28.80	0
	10	17.3	17.4	17.8	52.50	17.50	0.264

Reaction temp. (°C)	Reaction time (min.)	Replication			Total	Mean	S.D.
		I	II	III			
140	20	15.5	14.9	15.3	45.70	15.23	0.305
	30	13.1	12.7	12.7	38.50	12.83	0.230
	40	11.3	11.1	10.9	33.30	11.10	0.199
	50	9.5	9.7	10.0	29.20	9.73	0.251
	60	8.3	7.9	8.2	24.40	8.13	0.208
150	0	28.8	28.8	28.8	86.40	28.80	0
	10	13.0	13.3	13.4	39.70	13.23	0.208
	20	10.1	9.6	9.7	29.40	9.80	0.264
	30	7.9	7.6	7.7	23.20	7.73	0.152
	40	5.9	6.0	6.4	18.30	6.10	0.264
	50	4.6	4.9	4.7	14.20	4.73	0.152
	60	3.4	3.5	3.3	10.20	3.40	0.100

Table 4. Analysis of variance for isothermal delignification

Source	D.S.	S.S.	M.S.	F.
Total	104	5,185.71		
Main plot				
Replication	2	0.016	0.008	
Time	6	3,069.453	511.576	7,628.932**
Error	12	0.805	0.067	
Sub plot				
Temp.	4	40.434	13.478	268.359**
Time x Temp.	24	2,072.191	86.341	1,719.151**
Error	56	2,813	0.050	

Table 5. Difference between average value of Table 4, and its significance at five percent level

Time (min.) \ Temp. (°C)	0	10	20	30	40	50	60	Mean
110	28.80	24.30	23.23	22.03	20.63	18.93	17.73	22.23
120	28.80	22.90	21.60	20.43	19.23	17.87	16.27	21.01
130	28.80	21.23	19.60	17.97	16.80	15.37	13.77	19.07
140	28.80	17.50	15.23	12.83	11.10	9.73	8.13	14.76
150	28.80	13.23	9.80	7.73	6.10	4.73	3.40	10.54
Mean	28.80	19.83	17.89	14.65	14.77	13.32	11.86	17.48

L.S.D. $[(W_2) - (W_1)] = 0.206$ L.S.D. $[(W_1M_2) - (W_1M_1)] = 2.99$ L.S.D. $[(M_2) - (M_1)] = 0.139$ L.S.D. $[(W_2M_1) - (W_1M_1)] = 2.60$

이結果에서 볼 수 있는 바와 같이 酸素·알칼리蒸解에서 反応温度와 時間은 脱리그닌에 各各決定的인 影響을 미칠 뿐만 아니라 交互效果面에서도 Table 4 및 5에서와 같이 高度의 有意性을 나타냈다.同一한 反応時間에서도 各 反応temperature에 따라 현저한 脱리그닌 量의 差異를 보여, 110°C의 경우, 10分 反応에서 24.3% 残存리그닌 量을 지녀 겨우 4.5%만의 리그닌이 木粉에서 除去된대 反해, 150°C의 경우엔 残存리그닌 量이 13.2%로 全리그닌 量의 $\frac{1}{2}$ 以上이 溶出되는 急速한 脱리그닌 現象을 나타냈다. 同時に 10分以後의 脱리그닌 程度는 各 温度水準 共히 急激히 鈍化되면서 거의 一定比率의 脱리그닌만이 이루어지는 傾向을 나타냈다.

이처럼 酸素·알칼리蒸解의 脱리그닌이 初期에 급속히 이루어 짐은 알칼리 単独蒸解의 경우와 달리 酸素의 添加로 T. Oki(1976), T. Aoyagi(1977) 및 K. Krazel(1977)等이 밝힌 機構과 같이 리그닌의 酸化 및 低分子化가 보다 促進되기 때문인 것으로 판단된다. 이러한 実驗結果는 T. N. Kleinert(1975)의 報告와 一致되는 傾向이었다.

한편, 反応温度에 있어 130°C以下의 低温蒸解는 脱리그닌에 그다지 效果的인 温度水準이 되지 못한 것으로 판단되었다.

이처럼 酸素·알칼리蒸解에서의 脱리그닌이 一般 펄프化法, 特히 크라프트蒸解의 温度水準인 170°C程度까지 高温處理할 必要는 없으나, 적어도 140°C以上은 되어야 할 것으로 本 実驗에서 밝혀졌다. 이는 G. Meshitsuka(1968)等이 報告한 것과 같이 酸素·알칼리蒸解에 의한 脱리그닌이 主로 라디칼反応에 依하기 때문에 一定 温度以上에서야 비로소 라디칼이 活性화되는데 기인한 것이 아닌가 사료된다.

1.2. 알칼리 投入量의 影響

Fig. 3에서와 같이 酸素·알칼리蒸解에서의 알칼리 投入量은 脱리그닌에 미감한 影響을 미치는 것으로 나타났다.

4%에서부터 12%까지 2% 差異로 알칼리 投入量을 变化시켰을 때의 残存리그닌 量을 定量한結果, 4% 알칼리 投入時の 10.7%水準에서 9%의 3.4% 残存리그닌 量까지는 投入量 变化에 따른 脱리그닌의 差異가 크나 8%以上의 알칼리 投入에서는 거의 一定해지는 傾向을 드러냈다.

이러한 実驗結果는 H. M. Chang(1973)等이 高收率 소나무 소오다 펄프로 행한 酸素·알칼리蒸解 報告와 一致하였다.

D. F. Nelson(1977)은 알칼리 投入量을 달리하여

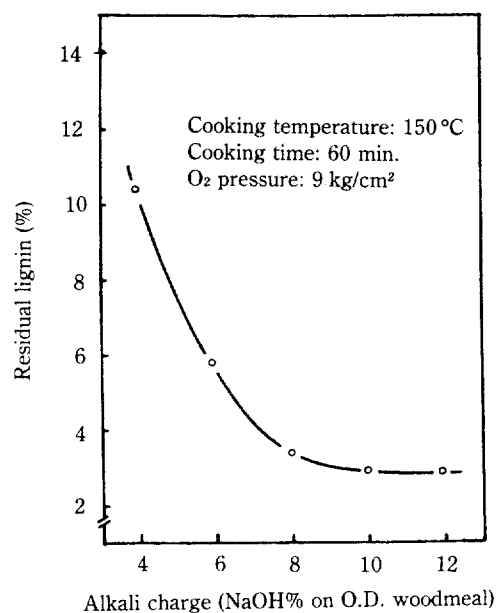


Fig. 3. Effect of alkali charge on delignification in oxygen • alkali pulping

酸素펄프化를 行한 報告에서 一定水準까지의 알칼리 投入에서는 脱리그닌反応이 促進되나 그以上이 되면 급격히 脱리그닌 速度가 멀어짐을 밝히고, 이는 알칼리 投入量이 늘어감에 따라 蒸煮液의 알칼리濃度增大로 酸素의 溶解度가 低下되기 때문이라고 解明하였다. I. L. Landucci(1974)等도 역시 低濃度 알칼리溶液의 酸素溶解度가 더 높음을 밝혀 이를 肯定해 주고 있다.

一般的으로 酸素·알칼리蒸解에서의 過度한 알칼리 投入은 脱리그닌의 促進보다는 오히려 炭水化合物의 分解를 招來하여 펄프의 收率과 強度低下를 수반하기 때문에 適正 알칼리濃度의 維持라고 하는 것이 特히 酸素·알칼리蒸解 脱리그닌反応에서는 重要視된다. 따라서 B. M. Jo(1979)의 報告에서와 같이 8~10%以上의 過多한 알칼리 投入은 불필요한 것으로 판단된다.

1.3. 酸素压力의 影響

Fig. 4는 5 kg/cm²에서부터 2 kg/cm²压力간격으로 最大 13 kg/cm²까지에 걸친 酸素压力의 变化가 脱리그닌에 어떤 影響을 미치는지를 측정한結果이다.

酸素压力이 높아감에 따라 同一한 蒸解条件下에서도 脱리그닌量은 상대적으로 增大되었는데 그 幅은 9 kg/cm²까지는 뚜렷하나 9 kg/cm²을 경계로 残存

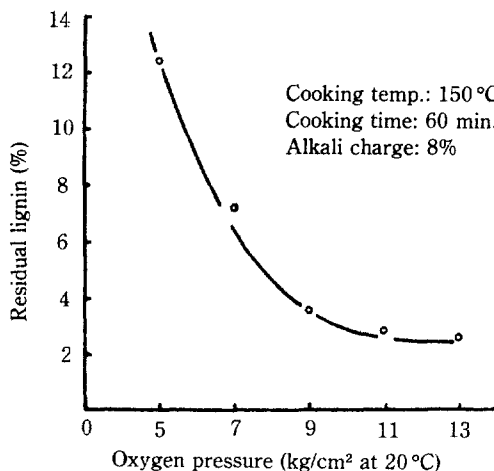


Fig. 4. Effect of oxygen pressure on delignification in oxygen-alkali pulping.

リグニン量에 거의 差를 보이지 않을 만큼 급속한 減少傾向을 들어냈다.

이러한 傾向은 J. I. Kido (1973) 等과 B. M. Jo (1979)의 報告와도 대략一致되는 것이었는데 이는 K. Abrahamsson과 O. Samuelson(1979)이 밝힌 바와 같이 酸素压力의 增加에 따라 酸素의 溶存量도 增大되나 一定한 溶解水準에 이르면 그以上으로 压力이 높아질지라도 溶存酸素量이 늘어나지 않기 때문인 것으로 보여진다.

따라서 9 kg / cm²의 酸素压力水準까지 溶存酸素의 增加로 酸素의 하이드록시 라디칼(-OH)이나 하이드로퍼록시 라디칼(-OOH)의 数가 늘어나 시들어 리그닌의 베녹시 라디칼이나 벤질라디칼과 結合하여 이를 低分子化시켜 溶出을 유도하므로 残存리그닌量이 3.4%水準에 달하게 되나 그以上的高压에서는 더以上の 리그닌 溶出이 뚜렷하지 못해 脱リグニン作用은 정체상태에 머무르게 되는 것으로 볼 수 있다. 결국 本 実験結果로는 9 kg / cm²水準의 酸素压力이 酸素·アルカリ蒸解 脱リグニン에 가장 効果적인 것으로 판단되었다.

2. 酸素·アルカリ蒸解의 脱リグニン 反応速度

2.1. 脱リグニン 様相

Fig. 5는 Table 3의 結果를 토대로 酸素·アルカリ蒸解에서의 脱リグニン 様相을 파악코자 反応時間別에 따른 蒸解木粉의 残存リグニン量을 定量하여 이를 半對数 그래프(semi log graph)에 図示한 것이다.

이 結果에서와 같이 酸素·アルカリ 蒸解에서 리그

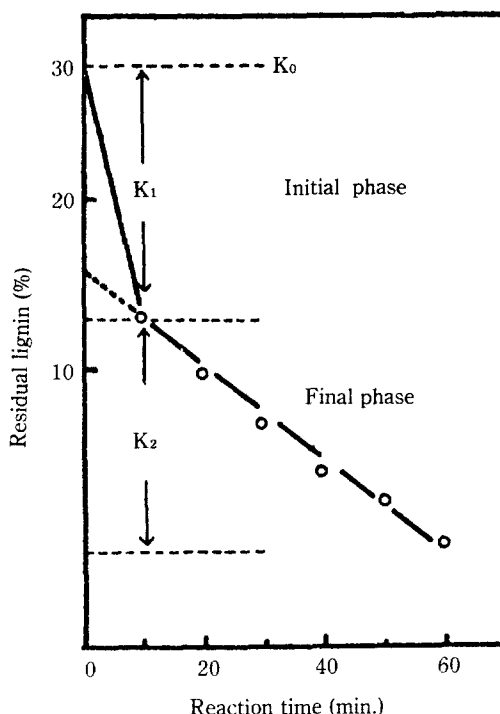


Fig. 5. Pattern of delignification in oxygen-alkali pulping.

년은 初期의 急速한 脱リグニン 段階인 “rapid initial delignification stage”와 後半의 “slow final delignification stage”的 2段階 模擬一次反應(pseudo-first order reaction)過程을 거쳐 溶出率을 알 수 있었다. 이때 K_0 는 蒸解前 供試 잣나무木粉의 리그닌含量인 28.8%이며 K_2 는 “slowly eliminated lignin”量을, 그리고 $K_0 - K_2 = K_1$ 는 “easily eliminated lignin”量을 각각 表示한 것으로 反応温度 150°C에 酸素压力을 9 kg / cm²으로 하고 알칼리 投入量을 8 %로 고정한 경우, K_1 은 15.6%였으며 K_2 는 9.8% 水準이었다.

反応初期에서의 脱リグニ率은 蒸解温度에 따라 110 °C에서의 16%水準에서 150 °C의 54%範圍에 걸친 差異를 보였으나 平均하여 木粉리그린量의 2/5以上이 이제 溶出되는 추세였다. 이러한 傾向은 T. N. Kleinenert(1976)가 밝힌 바와 같이 알칼리漂白法의 典型적인 脱リグニン樣相으로 간주되는데 I. L. Landucci와 N. Sanyer(1974)의 酸素漂白에서도 이와 同一한 実験結果가 報告된 바 있다.

한편, L. Olm(1979)은 이와 달리 크라프트蒸解의 脱リグニن은 3段階로 이루어짐을 밝혔다. 즉 全 알칼리

소비량의約60%가 소모되면서 炭水化物의 상당량이急速히 溶出되지만 脱리그닌은 오히려 지지부진한 初期段階과 炭水化物의 溶出이 있긴하나 대부분의 리그닌이 溶出되는 “bulk delignification”的 第2段階, 그리고 脱리그닌 速度가 줄면서 反面에 알칼리 消費가 增大되는 同時に 많은 量의 炭水化物이 溶出되는 第3段階의 “residual delignification”段階로 区分하였다. 그러나 酸素·알칼리 蒸解는 初期에 알칼리와 酸素소비가 크면서 同時に 리그닌 溶出이急速한 “bulk delignification” 단계와 이에 뒤이은 거의 一定한 水準의 脱리그닌 및 알칼리와 酸素 소비경향을 보이는 “residual delignification”段階로 확연히 区分되었다.

一般的으로 高温處理 크라프트 蒸解의 경우 “bulk delignification”段階에서 2/3程度의 리그닌이 溶出됨에 比해 本 実験에서 平均하여 2/5水準이란 過少值가 얻어진 것은 110~150°C의 比較的 低温에서 酸素·알칼리 蒸解한 탓으로 여겨진다. 이러한 “bulk delignification”段階에서의 脱리그닌 促進은 热相同(ther-

mal homolysis)으로 리그닌의 巨大分子가 急速히 破碎分裂되기 때문이며 “residual delignification”에서의 鈍化는 아래 形成된 遊離ラジカル들이 다시 総合(condensation), 그라프트(grafting) 및 라디칼轉位(radical transfer)와 같은 2次的 反応을遂行하기 때문인 것으로 볼 수 있다. T. N. Kleinert(1975)는 185°C의 高温 에틸알코올-물 蒸解(ethanol-water delignification)実験에서 “bulk delignification”이 10分以内의 反応初期에서 完了됨을 報告했는데 比較的 低温에서 酸素·알칼리 蒸解를 行한 本 実験에서도 이와一致되는 結果值를 나타냈다.

2.2. 脱리그닌反応 速度常数(k)의 값

Table 6은 酸素·알칼리蒸解의 脱리그닌 反応速度를 求하고자 각 蒸解温度別로 反応時間에 对한 残存리그닌 量을 定量하여 그 対數값을 半對數 그래프상에 대입해 회귀식을 算出한 것으로 反応時間과 残存리그닌 量間에는 高度의 有意性을 지니는 相関關係가 있었다.

Table 6. The regression equation of isothermal delignification in oxygen•alkali pulping

Reaction temp. (°C)	Regression equation	Correlation	F. ratio
110	$Y = 1.4204 - 4.81 \cdot 10^{-4}X$	-0.9947	375.51**
120	$Y = 1.3930 - 2.88 \cdot 10^{-3}X$	-0.9953	421.10**
130	$Y = 1.3654 - 3.65 \cdot 10^{-3}X$	-0.9977	880.95**
140	$Y = 1.3108 - 6.63 \cdot 10^{-3}X$	-0.9993	2750.6**
150	$Y = 1.3216 - 1.14 \cdot 10^{-2}X$	-0.9987	1473.4**

Table 7은 Table 6의 회귀식으로부터 $k = \log(\ell - \ell_0)/t$ 의 計算方法에 따라 알칼리 投入量 8%, 酸素 壓力 9 kg/cm², 液比 1:10의 조건下에 60分間 等温 酸素·알칼리 蒸解한 경우의 各 蒸解温度別 脱리그닌 反応速度常数를 测定한 것이다.

또 Table 8은 脱리그닌 方法別에 따른 反応速度의 比較를 為해 同一蒸解条件으로 酸素·알칼리 蒸解와 窒素·알칼리 蒸解 脱리그닌을 行하였을 때의 反応速度常数를 测定한 것이다.

그런데 이 各 직선회귀식의 切片(intercept) 값이 本来의 木粉리그닌 含量보다 훨씬 낮은 값으로 나타났다. 即, 150°C의 경우 供試木粉의 리그닌含量 28.8%에 比해 그 회귀식 $Y = 1.2316 - 0.00114X$ 의 切片값은 17.05%水準이었다. 이러한 差異는 脱리그닌 様相에서 言及한 바와 같이 酸素·알칼리 蒸解에

서 리그닌이 10分程度 初期단계에서 급속히 溶出되므로 그 反応速度가 너무 빨라 反応初期의 經時의 인 리그닌 溶出量을 测定하기가 곤란한데서 온 結果이다.

Table 7. Rate constant(k) and Q₁₀ value of oxygen•alkali delignification

Reaction temp. (°C)	Rate constant k(l/hr.)	Q ₁₀
110	0.17	0
120	0.18	1.06
130	0.22	1.22
140	0.40	1.82
150	0.71	1.78

Table 8. Comparison of rate constant at same cooking conditions in various delignification system

Delignification system	Delignification rate constant k(l/hr.)
Oxygen •alkali pulping	
Alkali charge: 8% NaOH	
Oxygen pressure: 9 kg/cm ²	0.71
Temperature: 150°C	
Caustic soda pulping	
Alkali charge: 8% NaOH	
Nitrogen pressure: 0 kg/cm ²	0.23
Temperature: 150°C	
Liquor to wood ratio, 10:1	

Table 7에서와 같이 酸素·알칼리 蒸解에서의 脱리그닌 反応速度常数는 0.17에서부터 0.71程度로서 蒸解温度가 높아감에 따라 그 값은 增大되는 경향이 있다. 蒸解温度의 差異가 脱리그닌反応速度常数에 어떤 影響을 미치는지를 파악하기 위해 Q_{10} 값도 함께求め했다.

一般的으로 化学反応은 그 反応温度가 높아지면 그 反応速度도 빨라지는게 常例로서, 反応temperature가 10°C 높아감에 따라 대략 그 反応速度는 倍가 되는데 本実験結果는 110°C에서 130°C까지는 Q_{10} 값이 그다지 크지 않다가 130°C以上의 反応temperature水準에서야 바로 서 倍에 가깝게 되는 특징을 보였다.

Table 8의 結果와 같이 같은 알칼리系 펄프化法에 屬하면서도 소오다 単独 蒸解의 경우가 0.23임에 比해 酸素·알칼리 蒸解는 0.71로서 3倍이상이나 그 反応速度常数가 큰 값을 나타낸것은 酸素의 添加가 알칼리 蒸解의 경우, 脱리그닌에 극히 効果의임을 立証한 것으로 볼 수 있을 것이다.

以上の 結果를 종합하여 볼 때, 酸素·알칼리 蒸解의 脱리그닌 反応速度는 主로 反応temperature에의 依存性이 큼을 확인할 수 있었다.

F. F. Nelson(1977) 等은 엘리오프 소나무(*P. elliptica*) 木粉의 酸素·알칼리 蒸解 実験에서 그 脱리그닌 反応速度常数가 反応temperature 135°C 일때 0.60이던 것 이 145°C로 10°C 높아짐에 따라 1.15로 倍가 됨을 報告하여 J. E. Evan(1979)과 같이 反応temperature가 脱리그닌 speed와 그 리그닌 溶出量에 가장 큰 影響을 미친

다고 주장하므로서 本 実験結果를 뒷받침 해주고 있다.

또 L. Olm(1979)은 크라프트 蒸解에서의 反応temperature 反応速度常数 比를 比較하여 K120/K110의 경우 1.27, K150/K140의 경우 1.53임과 같이 反応temperature가 높을수록 反応速度常数의 比, 即 Q_{10} 값이 커감을 밝혔는데 本 実験結果의 Q_{10} 값의 增大도 이와 一致되는 傾向을 나타냈다.

한편 T. N. Kleinert(1976)는 일련의 実験에서 酸素·알칼리 脱리그닌의 反応速度常数가 크라프트法보다 1.5倍나 되고 소오다法보다는 무려 4倍나 큼을 밝혀 酸素의 脱리그닌 促進機能의 우수함을 証明하였다. 다만 本 実験結果는 소오다法에 比해 3倍程度로 약간 過少値를 보였는데 이는 供試樹種과 蒸解条件이 서로 相異한 때문인 것으로 보여진다.

2.3. 脱리그닌 反応의 活性化 에너지 (E) 값

110°C에서 10°C 간격으로 等温處理한 酸素·알칼리 蒸解의 活性化에너지 (E)값은 27,756cal/mole이었다.

Table 9. Relationship between temperature and rate constant in oxygen •alkali delignification

Temperature (°C)	X (l/T) (°K ⁻¹)	Y (In R x 10 ⁶) (sec. ⁻¹)
110	2.610 x 10 ⁻³	1.491
120	2.542 x 10 ⁻³	1.609
130	2.480 x 10 ⁻³	1.810
140	2.420 x 10 ⁻³	2.408
150	2.353 x 10 ⁻³	2.982

Table 9는 이 活性化에너지 값을 算出하기 为한 前段階로 Arrhenius式의 兩邊에 対數를 取하여 $\log k = \log A - E/2.303R \times 1/T$ 로 變型시킨 다음 $\log k$ 와 $1/T$ 의 관계가 $\tan \theta = -E/2.303R$ 가 용기의 直線으로 나타나는 性質을 利用하여 各 反応絕對温度 와 그 温度에서의 脱리그닌 反応速度常数 (k)의 自然對數 값을 各各 X와 Y로 정리하여 表示한 것이다.

또 Fig. 6은 Table 9의 X와 Y값을 그레프상에 代入하여 $\log A$ 의 切片值와 $\tan \theta = -E/2.303R$ 의 기울기를 치니는 직선 方程식을 유도한 것으로 110°C에서 150°C에 걸친 $\log k$ 와 $1/T$ 間의 관계는 $Y = 17.122 - 6065.5X$ 로 ($r = -0.948$) 표시되는 一次方程식의 직선 관계가 성립되었다. 따라서 이 직선 方程식의 기

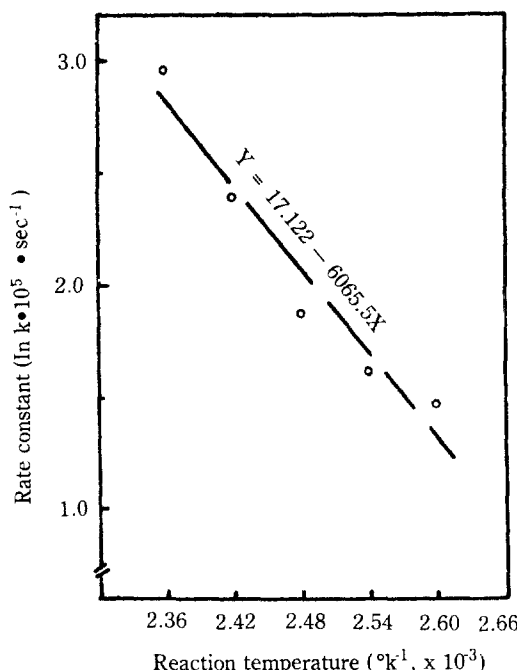


Fig. 6. Effect of temperature on the rate constant.

을 기를 計算하여 脱리그닌에 要한 活性化 에너지 값을 求한 바 $28 \times 10^3 \text{ cal/mole}$ 水準이었다.

이러한 本 実驗의 結果值는 T. N. Kleinert (1976) 가 가문비나무 木粉을 実驗하여 얻은 $21.0 \times 10^3 \text{ cal/mole}$ 보다 높은데 이는 本 実驗의 供試木인 잣나무 木粉의 리그닌 含量이 比較的 높은데 연유한 結果로 보여진다. 그러나 이러한 水準의 活性化 에너지 값은 크라프트法이나 소오다法의 一般的의 活性化 에너지 값인 $32.0 \times 10^3 \text{ cal/mole}$ 水準에 比해서는 훨씬 낮았다.

그 理由는 소오다法에서는 리그닌의 再縮合이 比較的 그 溶出이 어려운데 比해 크라프트法에서는 黃化水素이온이 리그닌의 2次的 縮合을 억제하여 보다 易溶化가 도모되어 酸素·알칼리 蒸解의 경우 酸素의 脱리그닌 促進效果가 더 두드러지기 때문인 것으로 볼 수 있다. 이러한 類推는 같은 알칼리系 蒸解法에 属하는 이들 세 가지 脱리그닌 方法에서의 반응속도 常数의 比較에서도 同一한 추세를 나타내는 것으로도 可能하였다.

3. 酸素·알칼리 蒸解 過程에서의 알칼리消費

Table 10 및 11은 酸素·알칼리 蒸解過程에서 脱

Table 10. Alkali consumption in the oxygen · alkali delignification at constant temperature (150 °C)

Reaction time (min)	Alkali consumption (%)	Replication			Total	Mean	S.D.
		I	II	III			
0	0	0	0	0	0	0	0
10	48.7	49.1	48.5	146.3	48.77	0.303	
20	53.2	52.8	53.1	159.1	53.03	0.207	
30	55.4	54.9	55.2	165.5	55.17	0.251	
40	56.8	56.6	56.9	170.3	56.77	0.153	
50	57.6	57.2	57.8	172.6	57.53	0.304	
60	58.5	57.9	58.0	174.4	58.13	0.320	

Table 11. Analysis of variance for alkali consumption

Source	D.F.	S.S.	M.S.	F.
Total	20	7937		
Reaction time	6	7936	1323	2218**
Error	14	0.835	0.0596	

L.S.D. 0.05 = 0.428

Table 12. pH of black liquor in oxygen • alkali delignification at the constant temperature (150 °C)

pH of black liquor Reaction time (min.)	Replication			Total	Mean	S.D.
	I	II	III			
0	13.2	13.6	13.5	40.3	13.43	0.208
10	10.3	10.1	10.2	30.6	10.20	0.099
20	9.8	9.5	9.8	29.1	9.70	0.173
30	9.1	8.7	8.9	26.7	8.90	0.199
40	8.2	8.4	8.3	24.9	8.30	0.099
50	7.9	7.8	7.8	23.5	7.83	0.057
60	7.4	7.5	7.3	22.2	7.40	0.099

Table 13. Analysis of variance for pH of black liquor in oxygen•alkali delignification

Source	D.F.	S.S.	M.S.	F.
Total	20	75.03		
Reaction time	6	74.74	12.46	594.9**
Error	14	0.2932	0.0209	

L.S.D. 0.05 = 0.253

리그닌에 消費된 알칼리, 即 수산화나트륨의 量을 反応時間 10分간격마다 定量한 結果이며 Table 12 및 13은 이 알칼리 消費와 관련된 蒸解廢液의 pH를 同時に 測定한 것이다.

Table 10의 結果에서와 같이 수산화나트륨은 反応初期인 10分頃에 投入總量의 約 1/2가량이 급속히 소모되고 그 以後의 소비는 완만한 減少推勢를 나타냈다. 이러한 수산화나트륨의 消費傾向은 脱리그닌 傾向과 類似하였다. 따라서 수산화나트륨은 反応初期에서는 주로 리그닌의 溶出에 그 대부분이 소비되나 10分 以後의 완만한 소비는 리그닌의 分解로 生成되는 有機酸의 中和에 消費되는 것으로 판단된다.

蒸解溫度 150°C의 경우, 리그닌 1g溶出에 소모된 수산화나트륨의 量은 0.18268g이었다. T. N. Kleine-rt (1976)의 報告에 依하면 이러한 酸素·알칼리 蒸解 脱리그닌反応에서의 알칼리 消費는 急速 소오다 蒸解나 크라프트蒸解의 경우보다 3倍程度 的 것으로 밝혀져 있다.

Fig. 7은 酸素·알칼리 蒸解終了後, 各 等温反応溫度에서의 廉液内 잔여 수산화나트륨量을 定量하여 反応溫度와 잔여 알칼리 量間의 関係를 검토한 것으로 両者間에는 $Y=0.2761-0.00073X$ ($r=0.987$)로 表示되는 高度의 有意性을 지닌 직선회귀식이 成立되었다.

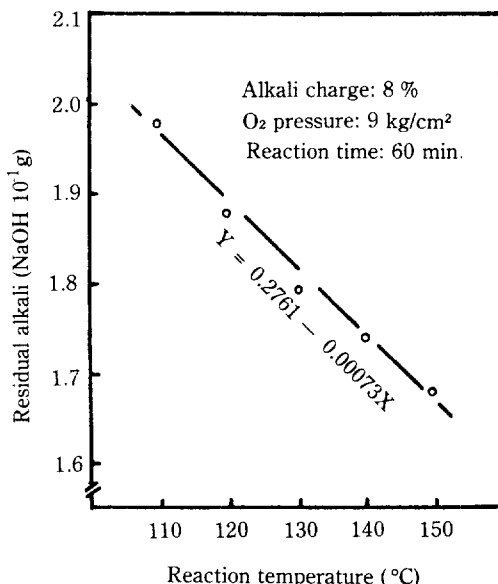


Fig. 7. Residual alkali versus reaction temperature in oxygen • alkali delignification.

酸素·알칼리 蒸解에서는 蒸解廢液의 pH가 最初의 強塩基性에서 부터 漸次 酸化反応에 依해 生成되는 有機酸의 影響을 받아 中性내지 微酸性으로 变化되

는게一般的인 바 Table 12 및 13에서와 같이本實驗에서의 廢液도 이러한 pH低下傾向을 보이긴 했으나 K. Hata(1973)等의 경우와는 달리 低濃度 短時間蒸解를 도모하기 위해 液比를 크게함과同時に 수산화나트륨 投入量도 약간 높였기 때문에 그 pH가比較的 中性에 가까운 7.4의 微鹼基性으로 나타났다.

木材의 리그닌은 酸素·알칼리 蒸解에서 主로 베놀레이트 陰이온(phenolate anion)의 酸化에 依해 低分子化되는데 蒸解가 進行됨에 따라 脱離실험과側鎖의 開裂이 더욱 活發해 져 최종적으로는 카복실酸과 二酸化炭素等이 生成되므로 蒸解液中の 알칼리가 이들 有機酸의 中和에 消費되어 蒸解液의 pH를 低下시키게 된다. 이때 이들 酸의 中和에 蒸解液中的 알칼리가 消費되어 어느 水準以下로 pH가 떨어지면 脱리그닌 speed는 갑자기 鈍化되는 것이 本 酸素·알칼리 蒸解 脱리그닌의 特徵의인 事實로 確認되었다.

H. M. Chang(1973)은 100~140°C 温度範圍로 高收率를 2段 酸素·알칼리 蒸解해본 結果, 脱리그닌反応速度의 分岐点이 pH10 前後임을 報告하였으며, T. Nishida(1974)等이 MWL을 使用해서 行한 實驗에서도 역시 pH 10부근이 脱리그닌 speed의 전환점임을 밝혀 Table 12 및 13의 本 實驗結果와 一致됨을

알 수 있었다. D. M. Martin(1957)은 脱리그닌 베카니즘이 同一한 過酸化物漂白 實驗에서 각 pH水準에서의 脱리그닌 反応速度를 比較해본 結果, pH 12일 때가 pH 10일 때보다 3倍 以上 빠름을 알아냈다.

이 밖에 K. Abrahamsson(1976)도 리그닌의 分解 및 溶出速度가 酸素·알칼리 蒸解液의 pH 10을 경계로 현저히 變化된다고 주장하였다. 이와같은 脱리그닌反応의 pH依存性을 充明하기 为하여 T. Aoyagi(1979)는 아포시놀(apocynol)과 아세토구아이아콘 单位体(acetoguaiacone) 및 알파-(2-메톡시 페녹시)- β -메톡시 페녹시(propioveratran)을 酸素·알칼리 蒸解한 後, 그 分解物과 縮合物의 生成機構를 檢討하였으나 단지 베놀성 水酸基의 酸化가 베놀레이트 陰이온을 경유하는 것이 容易하기 때문일 것이라는 說明밖에 못하고 있는 실정이므로, 금후 이에 대한 보다 집중적인 研究가 必要한 것으로 판단된다.

4. 酸素·알칼리 蒸解過程에서의 酸素消費

Table 14와 15는 脱리그닌反応時間에 따른 酸素의 經時的 消費量을 測定, 分析한 結果이다.

Table 14에서와 같이 酸素消費 역시 反応初期에서

Table 14. Oxygen consumption in oxygen-alikali delignification at the constant reaction temperature (150°C)

Reaction time (min.)	Oxygen consumption (%)			Replication	Total	Mean	S.D.
	I	II	III				
0	0	0	0	0	0	0	0
10	52.73	53.08	54.27	160.08	53.36	0.807	
20	68.07	61.04	59.88	181.79	60.60	0.626	
30	64.27	65.42	63.48	193.17	64.39	0.975	
40	69.17	68.23	67.34	204.74	68.25	0.915	
50	72.02	72.95	73.18	218.15	72.72	0.614	
60	76.49	77.16	76.98	230.63	76.88	0.345	

Table 15. Analysis of variance for oxygen consumption

Source	D.F.	S.S.	M.S.	F.
Total	20	1,230		
Reaction time	6	1,229	2,049	4,306**
Error	14	6,660	0.4757	

L.S.D. 0.05 = 1.208

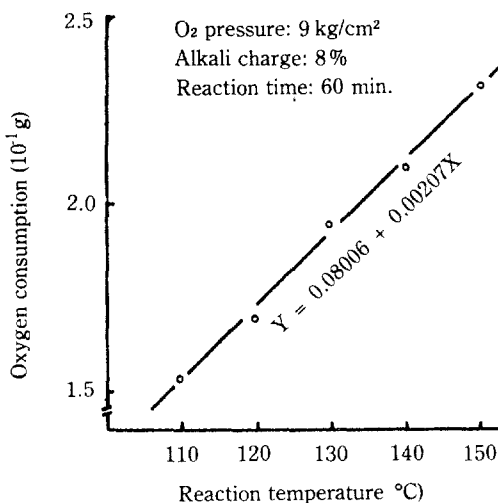


Fig. 8. Oxygen consumption during oxygen-alkali delignification.

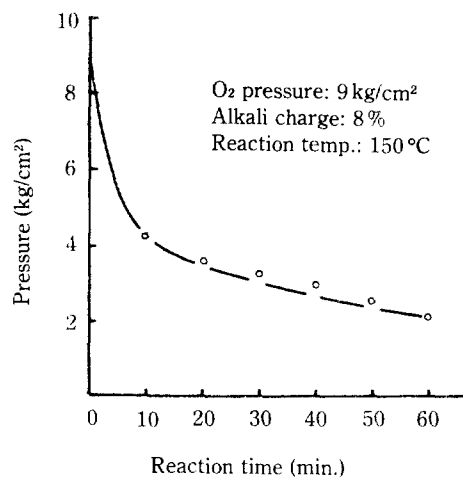


Fig. 10. The pressure inside the reaction bomb according to the reaction time at 20°C after cooking.

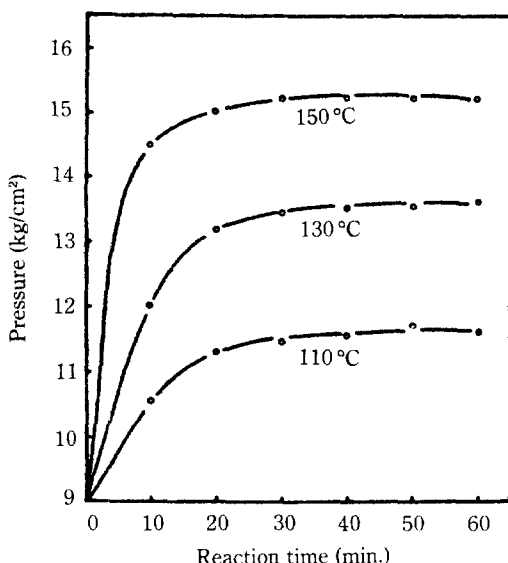


Fig. 9. The pressure inside the bomb versus time in the thermostated polyglycol bath.

急速해 10分頃에 대략 53%程度의 酸素가 消費되고 그以後는 알칼리消費樣相과 마찬가지로 거의一定한 수준의 鈍化된 소비 추세를 보였다.

本実験結果 150°C에서 60分間 酸素·알칼리蒸解한 경우 1g의 리그닌溶出에 消費되는 酸素의 量은 0.18197g水準이었다.

Fig. 8은 反応温度가 酸素消費量에 미치는 影響을 図示한 것으로 蒸解過程에서의 酸素消費는 反応温度

의 上昇으로 脱리그닌이 보다 促進됨에 따라 增大되는 傾向이었다. 이 때 反応温度와 酸素消費量間에는 $Y = -0.08006 + 0.00207X$ ($r = 0.983$)의 直線화가 関係가 있었다.

한편, Fig. 9와 10은 蒸解時間別에 따른 反応槽內의 壓力變化를 나타낸 것으로서 酸素·알칼리蒸解에서는 反応開始初期인 7~8分頃 까지는 Fig. 9에서와 같이 加熱에 依한 팽창으로 급격히 증대되다가 10分이 지나 무렵부터는 壓力上昇이 相對的으로 완만해지면서 거의 变動없는 壓力水準을 維持하면서 종반에는 약간 下降되는 特徵을 둘러냈다. 이렇게 壓力이 上昇된 反応槽를 20°C로 急冷시켜 反応槽內의 壓力を 測定한 結果, Fig. 10에서와 같이 酸化反應에서의 酸素消費로 原來의 9 kg/cm²보다 훨씬 낮은 壓力이 測定되었다.

이러한 本実験值의 傾向은 N. Hartler (1976)의 実験結果와도 同一한데 反応温度가 낮을수록 直線의 倾向 완만한 壓力上昇을 보인다고 報告하였다. 또 K. Hada (1973)는 180分間에 걸친 너도밤나무의 蒸解實驗에서 蒸解釜內의 酸素压力은 最高蒸煮temperature到達時間直前에 最大가 되었다가 以後漸次減少하는 傾向임을 밝혔다. 이는 脱리그닌 反応速度의 考察에서 記及한 바와 같이 本実験에서도 反応開始 10分을 境界로 脱리그닌 speed가 현저히 높아도는 事實로 미루어 보아 酸素가 이 時間帶에서 대부분 溶出하 소모된다고 확단되어 진다.

酸素·アルカリ蒸解過程에서 気相으로 存在하는 最初의 酸素는 Fig. 11의 溶存침투模式圖(R. B. Phillips)와 같이 液相에 溶解된 後, 細胞表面까지 扩散되고 이어 最終的으로 細胞膜의 不規則 経路를 지나며 알칼리 分위기에서 木材內의 リグニン과 反応하게 된다.

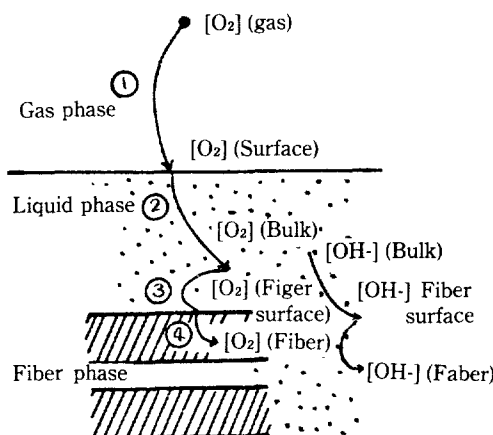


Fig. 11. Transport phenomena of oxygen in oxygen-alkali delignification. (R.B. Phillips)

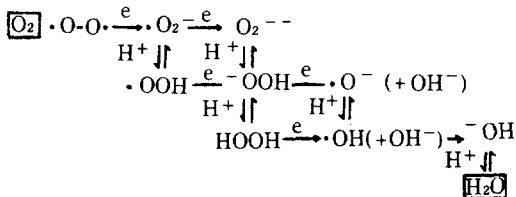


Fig. 12. Oxygen and its stepwise reduction to water. (J. Nakano)

이때 溶存酸素와 水酸基이온의 細胞膜 침투는 R. B. Phillips(1975)等이 밝힌 바와 같이 主로 細胞膜의 空隙構造에 依存하게 되는데 이들 溶存酸素는 Fig. 12에서와 같이 하이드록시 이온이나 하이드로퍼록시이온화한 後, Fig. 13의 폐녹시 라디칼이 生成된 리그닌에 結合하여 Fig. 14와 같이 사이クロ헥사디엔노페록사이드를 경유케 한 다음, 이 리그닌을 低分子化溶出 시킨다. 따라서 反応初期의 急速한 脱リグニン에 이들 酸素가 以上の 機構와 같이 대부분 소모되는 것으로 볼 수 있다.

N. S. Thompson(1976)等은 美國產 南部松(south-

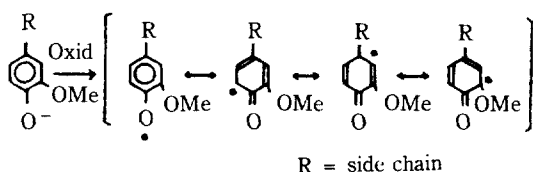


Fig. 13. Conjugation of phenoxy radical. (J. Nakano)

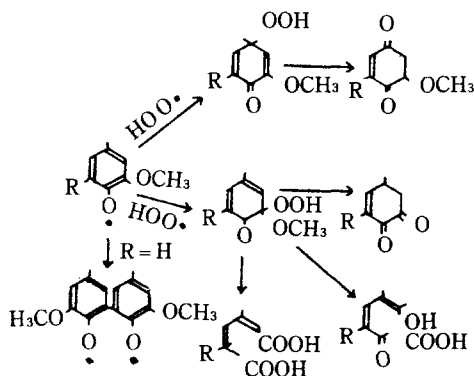


Fig. 14. Oxygen • alkali delignification. (J. Nakano)

ern pine) 크라프트 펄프의 酸素漂白에서 白色度를 28% GE에서 52% GE까지 개선시키는데 펄프 100g 当 1.2g 씩의 酸素가 소비됨을 밝혔다. 또 K. Hada (1973)等은 너도밤나무와 라왕의 半化学 酸素·アルカリ 蒸解実驗에서 너도밤나무의 酸素消費가 라왕에 比해 낮은데 이는 兩樹種의 리그닌 含量과 그 組成이 서로 다른 때문임을 報告한 바 있다.

이밖에 K. Abrahamsson(1979)等은 자작나무 木粉의 長時間 酸素·アルカリ 蒸解에서 反応 210分까지에는 100kg의 絶乾木粉量當 9.2kg의 酸素消費水準을維持하다가 反応開始 360分의 蒸解末期에 이르면 収率低下는 경미하면서도 酸素消費는 11.7kg 水準으로 높아지는데 이는 溶出된 有機物의 酸化에 酸素가 消費되기 때문임을 밝혔다.

그러나 本 実驗에서는 液比 1:10의 低濃度로 60分間이라는 短時間處理를 行하였기 때문에 이러한 傾向은 두드러지지 않았다.

한편, 酸素의 溶存問題와 관련하여 R. Marton(1975)等은 酸素压力의 高低가 비록 溶存酸素量에 差異를 야기시키기는 하나 一定範囲 안에서는 蒸解에서의 酸素消費에 그다지 큰 影響을 미치지 않는다고 주장하였다. A. Broden(1979)等도 加温 加压 알칼리溶液에서의 酸素溶解度를 測定한結果, 100°C 부근에

서 最低의 溶解度를 나타낸 후 그 以上으로 温度가 높아짐에 따라 酸素의 溶解度는 壓力과 濃度와의 関係를 따른 헨리法則(Henry's law)에 잘一致됨을 밝혔다.

5. 酸素 · 알칼리 蒸解 溶出 및 残存리그닌의 性状

5.1. 溶出리그닌의 溶解分別 特性

Table 16. Delignification and proportional amount of each fraction in dissolved lignin by oxygen • alkali & nitrogen • alkali cooking

Cooking Classification	Oxygen • Alkali	Nitrogen • Alkali
Original lignin (%)	28.8	28.8
Residual lignin (%)	3.8	16.3
Eliminated lignin (%)	25.0	12.5
Delignification rate (%)	86.8	43.4
pH of black liquor	7.4	12.2
Dioxane insoluble (%)	3.2	4.3
Dioxane soluble (%)	46.9	59.8
Ether soluble (%)	5.7	7.4
Water soluble (%)	44.2	28.5

投入量으로 行한 脱리그닌 处理였지만 酸素 · 알칼리 蒸解에서의 리그닌 溶出이 酸素 · 알칼리 蒸解에서 보다 2倍나 되었을 뿐만 아니라 활발한 酸化崩壊로生成되는 多量의 有機酸 中和에 알칼리 消費가 보다 커 蒸解廃液의 pH 역시 相對的으로 낮고 그 着色程度 또한 窒素 · 알칼리 蒸解의 경우보다 훨씬 淡色이었다. 同時に 酸素 · 알칼리 蒸解 溶出리그닌은 窒素 · 알칼리 溶出리그닌에 比해 95%디옥산 可溶量이 적은 대신 水溶量이 두드러지게 많은 것이 特徵의하였다. 이러한 特徵은 蒸解廃液으로 부터 溶出粗 리그닌을 얻기 위해 0.2N 黃酸을 加하여 酸化性(acidification)을 行하였을 때 窒素 · 알칼리蒸解 溶出 리그닌이 pH 5.5근처에서부터 沈澱을 始作하는데 反해 酸素 · 알칼리蒸解 溶出리그닌은 pH 3 부근에서야 겨우 沈澱되기 始作하는 것으로 보아 酸素 · 알칼리蒸解 溶出리그닌이 훨씬 더 親水性이 強해 酸化性으로도 잘 沈澱되지 않을 만큼 低分子化된 것으로 判断된다.

특히 酸素 · 알칼리蒸解 溶出리그닌의 水溶性部分이 44.2%로서 酸素 · 알칼리蒸解 溶出리그닌의 28.5%보다 높은 理由는 아릴글리세롤-베타-아릴에네르(aryl glycerol- β -aryl ether) 形態가 主骨格 構造인

Table 16은 酸素 · 알칼리 蒸解의 脱리그닌 促進機構을 파악코자 酸素와 窒素를 併入하여 각각 알칼리 脱리그닌을 行한 後, 이때 溶出된 리그닌을 Fig. 2의 方法에 따라 沈澱 회수시켜 95% 디옥산과 에넬로에 對한 可溶 및 不溶部分으로 分別하고 水溶性部分의 比率도 함께 求한 結果이다.

이 結果에서 알 수 있는 바와 같이 同一한 알칼리

針葉樹 리그닌의 베타-아릴에네르 結合이 酸素 · 알칼리 蒸解에서 開裂되고 側鎖 $\text{Ca}-\text{C}\beta$ 結合의 酸化開裂 역시 併行하여 일어나므로 이 두 分解反應이 親水性基가 豊富한 低分子 酸化리그닌의 生成에 크게 기여했기 때문인 것으로 사료된다. T. Oki(1976) 等은 구아이아실 글리세롤-베타-구아이아실 에넬르(guaiacyl glycerol- β -quaiacyl ether) 誘導體의 酸素 · 알칼리 酸化에서 일어나는 主反應은 베타-아릴에네르 結合의 開裂과 이에 뒤이은 側鎖 $\text{Ca}-\text{C}\beta$ 結合의 酸化 開裂임을 밝히고 同時に 側鎖構造의 差異가 酸化分解 樣相에 현저한 變化를 줌을 究明하였다.

K. K. Kratzel(1977)은 側鎖 α 位置의 炭素原子에 하이드록실基나 카보닐基가 結合되어 있는 化合物에서는 酸化結合反應(Oxidative coupling reaction) 보다는 過酸化水素 라디칼이 芳香核의 o 또는 p position을 공격해서 側鎖나 메톡실基를 離脱시키기 때문에 올소 하이드로퀴논이나 파라 하이드로퀴논 化合物로變化되는 反應이 우선함을 알아냈다.

그러나 現在까지도 酸素 · 알칼리 蒸解에서 리그닌이 水溶性으로 低分子化되어 酸化리그닌이 되는 酸化反應의 全貌를 完全히 解明하지는 못하고 있는 実

情이다.

한편, 알칼리下에서의 酸素 酸化에 依한 리그닌의 分解 生成物은 T. Aoyagi(1976)가 종합 報告한 바와 같이 대략 카복실性, 中性, 페놀性 및 酸性 酸化物로 区分된다.

카복실性 分解物로는 安息香酸, 파라하이드록시安息香酸, 푸탈酸, 바닐린酸, 벤제트라카복실酸 等이 檢色되었으며 中性生成物에는 二酸化炭素, 메타놀 및 포름알데하이드 等이 報告되었다.

그리고 페놀性 物質로는 구아이아콜, 바닐린, 시린지알데하이드, 아세토구아이아콘과 아세토시린콘을 들 수 있으며 마지막으로 酸性分解生成物이 가장 많아 캐미酸, 초산, 글라이콜酸, 修酸, 마데인酸, 마노린酸, 酒石酸 및 시트라콘酸 等의 有機酸이 그 대부분을 占하고 있는 것으로 알려지고 있다.

5.2. 溶出 및 残存리그닌의 官能基 变化 特性

Table 17은 酸素·알칼리蒸解와 窒素·알칼리蒸解溶出 및 残存리그닌의 官能基를 각각 測定, 比較한

結果이며, Table 18은 酸素·알칼리蒸解溶出리그닌의 反応 時間別에 따른 各 官能基의 变化를 同時에 測定한 것이다.

Table 17에서 알 수 있는 바와 같이 메톡실基, 카보닐基 및 페놀성 하이드록실基 共히 变化를 받는데 그 程度는 酸素·알칼리 蒸解의 경우가 窒素·알칼리 蒸解에서 보다 크게 나타났다. 이러한 原因은 앞에서 言及한 바처럼 두 蒸解의 脱리그닌 機構가 서로 다른 原因으로 볼 수 있다.

메톡실基는 MWL의 14.82%에서 減少되는데 一般的으로 残存리그닌 보다 溶出리그닌의 脱메톡실이 심하며 OAL의 경우 13.27% 对 10.48%이었다. 反面에 카보닐基와 카복실基 및 페놀성하이드록실基는 모두 增大되었다. 따라서 酸素·알칼리 蒸解로 리그닌의 메톡실基는 減少되며 溶出리그닌의 경우 카복실基와 페놀성하이드록실基의 增加가 뚜렷해진다. 이러한 事實은 Fig. 16의 적외선 분광 分析結果와도 잘一致되었는데 이들 弱酸性 解離基의 增加는 리그

Table 17. Functional groups of lignin preparation

Lignin	Methoxyl (OCH ₃)	Carbonyl (CO)	Carboxyl (COOH)	Phenolic hydroxyl (ph. OH)
Wood meal				
MWL	14.82	0.13	0.64	2.87
Residual lignin				
NAL	13.91	0.18	1.08	3.11
OAL	13.27	0.21	1.12	3.78
Dissolved lignin				
NAL	11.63	0.26	1.14	4.14
OAL	10.48	0.37	2.92	5.72

Table 18. Relationship between functional group of oxygen·alkali dissolved lignin and reaction time

Functional group (%) Reaction time (min.)	Methoxyl (OCH ₃)	Carbonyl (CO)	Carboxyl (COOH)	Phenolic hydroxyl (ph. OH)
0	14.82	0.13	0.64	2.87
10	12.18	0.20	2.15	4.75
20	11.72	0.26	2.55	5.23
30	11.25	0.31	2.70	5.44
40	10.87	0.32	2.84	5.51
50	10.81	0.35	2.87	5.64
60	10.48	0.37	2.92	5.72

닌의 親水性에 커다란 影響을 미치는 것으로 보여진다.

T. Aoyagi(1977)等은 酸素·アルカリ處理가 리그닌의 芳香核崩壊를 보다 容易하게 하며 이때문에 滅液中에는 바닐린이나 아세토구아이아콘等과 같은 알파카보닐基를 지닌 구아이아실化合物이 存在하게 됨을 밝혔다. 同時に 酸素·アルカリ 蒸解에서는 脱メチル反応이 함께 일어나며 페놀성 하이드록실基는 알파 혹은 베타 아릴에텔基結合이 切断되어 生成된다고 주장하였다. Table 17에서와 같이 窒素·アルカリ 蒸解의 경우보다 酸素·アルカリ 蒸解에서의 官能基變化가 큰것은 바로 이러한 酸化分解機構로 説明할 수 있다. M. Sogo(1974)等도 酸素·アルカリ 蒸解時 알칼리度가 높을수록 카복실基와 페놀성하이드록실基가 增大됨을 報告한 바 있다. Table 18의 酸素·アルカリ 蒸解 溶出 리그닌에 関한 反応時間別의 官能基變化를 고찰해 보면 우선 메톡실基의 경우 蒸解時間이 길어짐에 따라 메톡실量이 急減하여 60分間蒸解完了後 메톡실基가 MWL의 것에서 約 30%가량 離脱되는 結果를 나타냈다. 이러한 메톡실基의 減少는 脱メチル에 依한 페놀성 하이드록실 에스텔의 加水分解가 그 原因인 것으로 H. Hatakeyama (1968)와 T. E. Crozier (1979)等이 結論 내리고 있다. 페놀성 하이드록실基는 메톡실基의 경우와는 달리 蒸解反応初期에 急速히 增加된 後, 거의 直線的인 완만한 增加추세를 보였다. G. Meshitsuka(1976)等은 이러한 페놀성 하이드록실基의 增加를 페닐 에텔基結合의 開裂에 根拠한 것으로 보고 있다.

한편, 카보닐基는 本 実験의 경우 MWL이 C₆-C₅, 当 0.01水準으로 一般소나무에 比해相當히 過少值를 보였는데 이는 供試 잣나무의 리그닌 構造差에서 오는 酸化反応경과의 相異에 依한것이 아닌가 짐이 되긴하나 그 확실한 理由의 究明을 위해서는 좀 더 研究検討가 要求된다. 카보닐基는 蒸解反応初期인 7~8分頃에서는 일단 減少하였다가 後 서서히 蒸解의 進行에 따라 增加되는 特征적인 变化 様相을 나타냈다.

그러나 리그닌의 種類에 따라서는 反応初期의 減少가 없이 바로 增加를 보이는 것도 많은데 이처럼 各己相異한 카보닐基의 变化樣相이 있음을 H. Hatakeyama(1968)는 모델化合物의 過酸化反応 実験結果에서 밝힌 바 있다. 이에 反해 카복실基는 MWL의 0.64%에서 反応初期인 10分頃에 2.15%로 급격히 增加된 後에는 거의 완만한 增加추세를 나타냈다.

以上的 官能基变化 様相에서 알 수 있는 바와 같아 酸素·アルカリ 蒸解에서의 脱リグ닌反応은 主로 蒸解初期에 急速히 進行되는 것으로 여겨진다.

5.3. 溶出 및 残存리그닌의 分光学的 特性

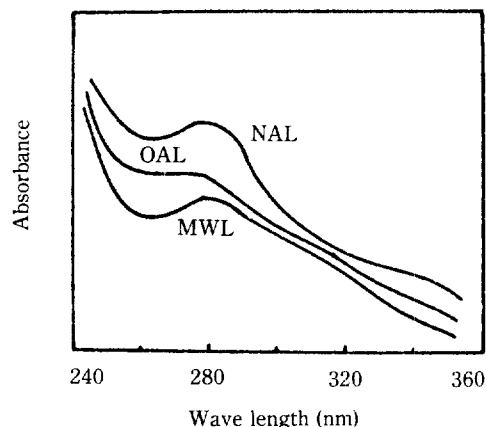


Fig. 15. Ultraviolet spectra of lignin preparations.

Fig. 15 및 16은 供試 잣나무 木粉에서 单離한 酸化리그닌의 紫外線 및 赤外線 分光分析 스펙트라이다. 리그닌은 芳香族化合物로서 紫外部의 光線을 強하게 吸收하면서一般的으로 205nm부근 및 280nm부근에서 吸收極大를 나타내는데 Fig. 15에서와 같이 酸素 및 窒素·アルカリ蒸解 溶出 리그닌인 OAL과 NAL共に 280nm부근에서의 吸光度가 MWL에 比해 높았으며, 特히 酸素·アルカリ 蒸解 溶出 리그닌의 경우 NAL에서와는 달리 280nm에서의 吸收極大가 鈍化되면서 肩状을 나타내 페닐核構造에 变化가 있었음을 시사하므로서 OAL과 NAL間에는 化学構造上에 差異가 있음을 알려주고 있다.

이밖에 OAL의 吸光係数가 $9.84 \text{ } \ell \cdot \text{g}^{-1} \cdot \text{cm}^{-1}$ 로서 NAL의 $22.41 \text{ } \ell \cdot \text{g}^{-1} \cdot \text{cm}^{-1}$ 보다 낮은 것은 酸素·アルカリ 脲프의 淡色化와 관련있는 것으로 볼 수 있다. Fig. 16의 赤外線 스펙트라 特性을 考察해보면 残存리그닌에 있어서는 NAL 및 OAL 모두 $1,660\text{cm}^{-1}$ 에서의 吸收가 不明瞭해지면서 水酸基伸長(OH-Stretching)과 関聯이 있는 $3,400\text{--}3,450\text{cm}^{-1}$ 에서의 吸收가 強하게 나타났다. 한편, 溶出리그닌의 경우엔 1660cm^{-1} 에서의 吸收強度가 極히 弱化되면서 카보닐伸長(carbonyl stretching)의 $1,715\text{--}1,740\text{cm}^{-1}$ 에서의 吸收가 增大되었다. 이러한 赤外線 吸收傾向은 OAL이 더 두렷하여 카보닐基 및 카복실基가 이에 더 많아

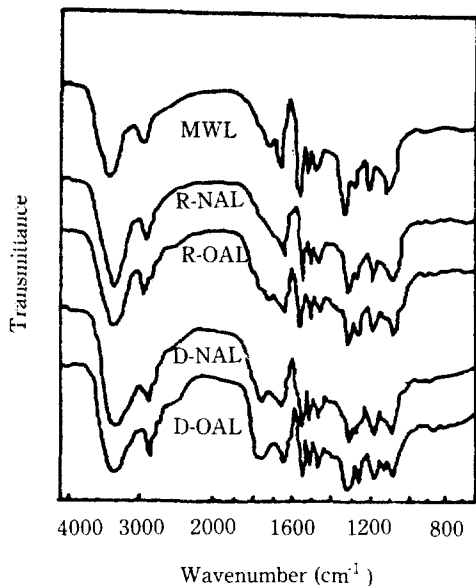


Fig. 16. Infrared spectra of lignin preparations.

含有되어 있음을 알려주고 있다.

6. 酸素・アルカリ蒸解 溶出リグニンの分子量分布

Fig. 17은 供試木粉을 수산화나트륨을 投入量 8%, 酸素压力 9 kg / cm²의 조건下에 反応温度 150°C로 60分間 酸素・アルカリ蒸解 处理한 酸素・アルカリ 溶出リグニン(OAL)과 酸素代身 窒素를 流入하여 同一条件下으로 純粹소오다蒸解 处理한 窒素・アルカリ蒸解 溶出リグニン(NAL)을 각각 세파택스 견여과(Sephadex gel filtration)하여 그 分子量의 分布를 测定, 図示한 것이다.

이結果에서 볼 수 있는 바와 같이 本来 MWL의 高分子部分은 比較的 많은데 이것이 NAL에서는 半程度로 減少되었다.

그러나 酸素・アルカリ蒸解 溶出의 OAL에서는 MWL의 高分子部分이 현저하게 줄어들면서 相對적으로 低分子領域이 크게 늘어나는 特徵的인 結果를 나타냈다. 이는 곧 酸素에 依한 酸化崩壊가 리그닌의 低分子化 및 溶出에 크게 기여함을 立証한 것으로 이례한 傾向은 리그닌構造가 同一한 過酸化物의漂白에서도 觀察, 報告되고 있다.

H. Ishikawa(1965)等은 間葉樹 化學機械漂白를 1.73%過醋酸(peracetic acid-CH₃C(=O)OOH)으로 40°C에서 3時間동안漂白處理한 後, 次亜塩素酸과 물의 比를 2:1로 한 展開溶媒를 使用하여 ティエ틸 アミノ

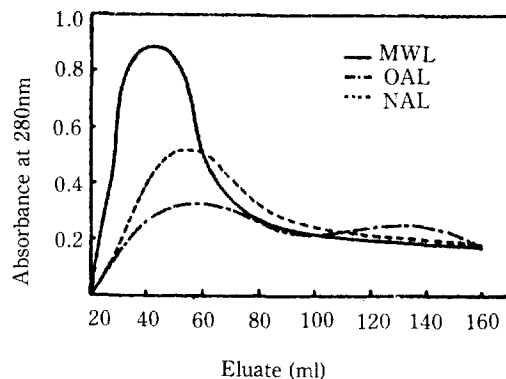


Fig. 17. Schematic molecular weight distribution of dissolved lignin on a column of Sephadex G-100.

에틸셀룰로오스(DEAE-cellulose: CH₂CH₂NH(C₂H₅)₂基를 셀룰로오스水酸基에 에틸르結合시킨 것) 견여과를 行한 結果, 過醋酸酸化生成物中 特히 低分子部分에는 보다 많은 量의 가테콜(cathecol)核構造가 包含되어 있음을 밝혔다. 또 H. M. Chang(1975)等은 酶素리그닌(cellulolytic enzyme lignin)의 견여과 分布에서 潤葉樹리그닌이 針葉樹의 경우보다 溶媒에 対한 溶解性이 높음을 報告하였다. 이처럼 潤葉樹의 脱リグニン이 比較的 針葉樹의 경우보다 容易한 것은 T. Oki(1978)等이 光明한 바와 같이 시린질(syringyl)核은 구아이아실(guaiacyl)核보다 電子密度가 커서 酸素가 容易하게 作用하는 관계로 폐녹시라디칼의 生成이 쇠워 그 分解가 加速되는 데 기인한다고 볼 수 있다.

또 P. A. Young(1976)과 M. Sogo(1974)等은 酸素・アルカリ蒸解 脱リグニン時, 알칼리度가 높을수록 酸化리그닌은 低分子部分이 많아진다고 주장하였다. 따라서 酸素・アルカリ蒸解에서의 溶出리그닌은 소오다蒸解의 경우와는 달리 일단 低分子化 배지 溶出된 리그닌 分子間의 再縮合等이 적어 比較的 그 脱リグ닌速度가 빠를뿐 아니라 溶出리그닌의 低分子領域 역시 增大됨을 확인할 수 있었다. 各種 脲素化法에 依한 溶出리그닌의 分子量은一般的으로 그 分布가 広範囲한 바 現在까지의 報告를 종합하면 대체로 1,000以下에서부터 10⁶以上에 이르기까지 多様하다.

V. F. Felicetta(1957)等은 アルカリ 脲素化에 依한 美松의 蒸解溶液의 重量 平均 分子量이 400~150,000程度임을, 그리고 W. Q. Yean(1968)等은 重垂黃酸法(bisulfite)에 依한 리그닌 溶出 산鹽(sodium

sulphonate)의 重量平均分子量分布가 10,000~77,000範囲임을 각각 밝혔다.

그러나 本 実験에서는 高分子인 리그닌이 酸素·알칼리 蒸解로 과연 어느 만큼 低分子化 되는가 하는面에 焦点을 두긴 했으나 그 実際의 分子量測定 보다는 高分子와 低分子領域의 增減 여부 만으로 그 效果를 檢討하였다. 따라서 諸般 蒸解 因子의 變化가 溶出리그닌의 分子量分布에 미치는 影響을 実際로 評価하기 위하여서는 보다 精密한 分析이 必要할 것이다.

結論

잣나무(*Pinus koraiensis S.et Z.*) 木粉을 酸素·알칼리 蒸解하여 그 脱리그닌 反応現象과 酸化리그닌의 諸般 性狀을 動力学的으로 分析考察한 바, 다음과 같은 結論을 얻을 수 있었다.

1. 酸素·알칼리 蒸解過程에서의 脱리그닌은 蒸解開始 10分頃에 全 리그닌 含量의 2/5가량이 急速히 溶出되는 初期 酸化反応의 特徵을 나타냈다.
2. 反応時間과 反応溫度는 脱리그닌에 高度의 有意味을 미쳤으며 그 効果는 反応溫度가 낮을수록 鈍化되는 추세였다.
3. 脱리그닌反応의 速度常数(k)는 130°C以上의 反応溫度 条件下에서만 10°C의 温度上昇에 따른 Q_{10} 값이 倍加되는 경향이었으며 反応溫度 150°C의 경우 그 常数값은 0.71로 同一条件의 소오다法의 0.23에 比해 3倍程度 더 커졌다.
4. 脱리그닌 反応溫度와 그 反応速度常数 間に $Y = 17.122 - 6065.5X$ 의 直線회귀 관계가 있었으며 그 活性化 에너지 값은 $27.8 \times 10^3 \text{ cal/mole}$ 程度로서 크라프트나 소오다 ベルフ化法보다 1/3程度 낮은 水準이었다.
5. 蒸解過程에서 알칼리는 反応初期에 總投入量의 1/2가량이 急速히 消耗된 후, 酸素의 경우와 마찬가지로 완만한 消費趨勢를 보였는데 그 消費水準은 리그닌 1g 溶出에 0.18268g 程度였다.
6. 蒸解液의 pH는 蒸解의 進行에 따라 酸化反応으로 生成되는 有機酸에 문에漸次 低下되는 傾向을 보였는데 이때 그 脱리그닌 反応速度가 pH 10을 境界로 현저히 變化되는 強한 pH 依存特性을 드러냈다.
7. 投入된 酸素는 脱리그닌反応 初期 단계인 10分頃에 總投入量의 53%以上이 일시에 消耗되고 난 후, 그의 정체된 消費傾向을 나타냈다. 그 消費

量은 리그닌 1g 溶出에 0.18197g[△] 要求되는 水準이었다.

8. 酸素·알칼리 蒸解溶出 리그닌은 親水性基의 導入으로 水溶量이 늘어나고 酸化化로도 잘沈澱되지 않을 만큼 低分子化率을 알수있었다.
9. 溶出 및 残存리그닌의 메톡실基는 反応의 進行과 함께 急速히 減少되는데 反解, 페놀性 하이드록실基, 카보닐基 및 카복실基는 共히 初期에 急增된 後, 거의 直線의 완만한 後半期의 增加 추세를 보였다.
10. 溶出리그닌의 UV스펙트럼은 280nm에서 極大가 鈍化되면서 肩状을 나타내어 酸素酸化로 리그닌의 페닐核構造上에 變化가 있었음을 알수있었다. 同時に IR스펙트라에서는 1,660cm⁻¹에서의 吸收強度가 아주 弱화된 反面, 1,715~1,740cm⁻¹에서吸收는 오히려 強化되어 카보닐基 및 카복실基의 增加量을 示唆하였다.

LITERATURE CITED

1. Abrahamsson, K. and O. Samuelson. 1975. Oxygen•alkali cooking of wood meal. Part VI. Influence of carbon dioxide at different concentrations of active alkali. Svensk Papperstidn 11:417-421.
2. Abrahamsson, K. and O. Samuelson. 1976. Oxygen•alkali cooking of wood meal. Part VII. Influence of manganese and iron compounds. Svensk Papperstidn 9:281-295.
3. Abrahamsson, K. and O. Samuelson. 1979. Oxygen•alkali cooking of wood meal. Part XI. Influence of amines and quinones. Oxygen consumption. Svensk Papperstidn 4:105-108.
4. Andrews, D.H. and A.E. Yethon. 1929. Oxygen delignification and bleaching of soda-anthraquinone pulps. TAPPI 62(6):29-32.
5. Aoyagi, T. 1976. Studies on the behavior of lignin during oxygen•alkali cooking. Ph.D. Thesis University of Tokyo, Japan.
6. Aoyagi, T., S. Hosoya and J. Nakano. 1977. Behavior of lignin during oxygen•sodium hydroxide and oxygen•sodium carbonate cooking. Jour. of Japan Wood Res. Soc. 23(3):156-161.
7. Broden, A. and R. Simonson. 1970. Solubility of

- oxygen. Part II. Solubility of oxygen at temperature 150°C and pressure 5 Mpa. *Svensk Papperstidn* 16:487-481.
8. Brumby, P.M., I.A. Crawford and C.H. Turner. 1978. Soda•oxygen pulping of eucalypts. *AP-PITA* 31(6):431-436.
 9. Chang, H.M. and P.J. Kleppe. 1973. Delignification of high-yield pulp with oxygen and alkali southern pine kraft pulp. *TAPPI* 56(1):97-100.
 10. Chang, H.M., W.T. McKEAN and S. Seay. 1973. Delignification of high-yield southern pine soda pulps by oxygen and alkali. *TAPPI* 56(5):105-108.
 11. Connor, W.J. and N. Sanyer. 1975. High-concentration alkali pulping of southern pine. *TAPPI* 58(2):80-82.
 12. Crozier, T.E., D.C. Johnson and N.S. Thompson. 1979. Changes in a southern pine dioxane lignin on oxidation with oxygen in sodium carbonate media. *TAPPI* 62(9):107-111.
 13. Evan, J.E., V. Venkatesh, J.S. Gratzl and H.M. Chang. 1979. The Kinetics of low-consistency oxygen delignification. *TAPPI* 62(6):37-39.
 14. Felicetta, V.F. and J.L. McCarty. 1957. Molecular size distribution on lignins of softwood. *J. Am. Chem. Soc.* 79:4499-4514.
 15. Fujii, J.S. and M.A. Hannah. 1978. Oxygen pulping of hard woods. *TAPPI* 61(8):37-40.
 16. Glasser, W.G., S.S. Honeycutt, C.A. Barnett and N. Morohoshi. 1978. The structure of lignin in pulps. Changes in lignin's functionality. *TAPPI* 62(11):111-116.
 17. Harris, G.C. 1954. U.S. Pat. 2, 673, 148.
 18. Hata, K. and M. Sogo. 1973. Studies on soda•oxygen pulping of wood II. Oxygen•alkali method semichemical pulp from beech, oak, lauan and pine wood. *Japan TAPPI* 27(3):35-44.
 19. Hata, K. and M. Sogo. 1973. Studies on soda•oxygen pulping of wood IV. Bleaching and properties of bleached pulp of two stage soda•oxygen pulps from Japanese red pine and beech woods. *Japan TAPPI* 27(5):24-30.
 20. Hata, K. and M. Sogo. 1975. Oxygen•alkali semichemical pulping of wood chips. *TAPPI* 58(2):72-75.
 21. Hatakeyama, H., K. Sutuki, J. Nakano and N. Migita. 1968. Influence of side chain in the reaction of lignin model compounds with peracetic acid. *Jour. of Chemical Engineering* 71(2):246-256.
 22. Hatakeyama, H., T. Tonooka and J. Nakano. 1968. Degradation of lignin with ozone. *Jour. of Chemical Engineering* 71(8):96-99.
 23. Hartler, N., H. Norrstrom and S. Rydin. 1970. Oxygen•alkali bleaching of sulfate pulp. *Svensk Papperstidn* 74:696-703.
 24. Ishikawa, H., K. Okabo, T. Oki and S. Watanabe. 1965. Studies on the oxidative decomposition of lignin III. Delignification by peroxide bleaching of chemiground pulp. *Japan TAPPI* 19(8):31-41.
 25. Jamieson, A.G., O. Samuelson and L.A. Semelman. 1975. Oxygen•sodium bicarbonate pulping of white birch. *TAPPI* 58(2):68-71.
 26. Jamieson, A.G. and G. Fossum. 1976. Influence of oxygen deignification on pulp yields. *AP-PITA* 29(4):253-256.
 27. Jo, B.M. 1979. Factors influencing the properties of oxygen•alkali pulp from pine wood (*Pinus rigida Miller*). *Jour. of TAPPI Korea* 11(1):11-20.
 28. Kido, J.I., K. Sakai and T. Kondo. 1973. Studies on oxygen•alkali treatment of ligneous materials. Part II. One stage oxygen•alkali cooking of asplund pulp. *Japan TAPPI* 27(12):25-32.
 29. Kleinert, T.N. 1975. Ethanol-water delignification of wood. Rate constants and activation energy. *TAPPI* 58(8):170-171.
 30. Kleinert, T.N. 1976. Mechanism of delignification in the oxygen-alkali system. *TAPPI* 59(9):122-124.
 31. Kleppe, P.J., A. Backlund and Y. Schildt. 1976. Oxygen•alkali delignification at kamyr digester blow line consistency—a status report. *TAPPI* 59(11):77-80.
 32. Krazel, K., P.K. Glaus, A. Hruschka and F.W. Vierhapper. 1977. Theoretical fundamentals on oxygen bleaching and pulping. *Japan TAPPI* 31(12):8-18.
 33. Landucci, I.L. and N. Sanyer. 1974. Influence of metal and iodide ions in oxygen pulping of loblolly pine. *TAPPI* 57(10):97-100.

34. Marshall, H.B. 1954. U.S. Pat. No. 2, 686, 120.
35. Martin, D.M. 1957. The bleaching of eastern spruce ground wood with alkaline peroxide. TAPPI 40(2):65-72.
36. Marton, R., A. Brown and S. Granzow. 1975. Oxygen pulping of thermomechanical fiber. TAPPI 58(2):64-67.
37. Mckelvey, R.D., V.J. Van Drunen and G.A. Nicholls. 1978. Oxygen pulping of hardwood under oxygen-rich conditions. TAPPI 61(12):40-42.
38. Meshitsuka, G., J. Nakano and N. Migita. 1968. Studies on color of lignin (VI). On the formation of coloring structure of lignin during sulfate cooking. Japan TAPPI 22(1):9-14.
39. Minor, J.L., and N. Sanyer. 1974. Carbohydrate stabilization with iodide in oxygen bleaching of kraft pulps. TAPPI 57(2):109-112.
40. Minor, J.L. and N. Sanyer. 1975. Oxygen pulping of shortleaf pine with sodium carbonate. TAPPI 58(3):116-119.
41. Nakano, J. 1973. Behavior of lignin to oxygen•alkali. Japan. TAPPI 27(7):328-334.
42. Nagaro, T., S. Miyao and K. Takeda. 1974. Hopes oxygen pulping process. Its basic concepts and some aspects for reaction of oxygen pulping. Paper presented at Non-sulfur pulping symposium. Madison. W.U.S.A. October.
43. Nakamura, M. and H. Matsuura. 1975. Oxygen•alkali pulping of beech wood. TAPPI 58(4):98-102.
44. Nelson, P.F. and N. Vanderhoek. 1977. Kinetics of oxygen pulping. APPITA 31(3):208-208.
45. Nishića, T., K. Sakai and T. Kondo. 1974. Studies on oxygen•alkali treatment of lignous materials. Part III. Hydrogen peroxide bleaching of kraft pulp prebleached by oxygen•alkali. Japan. TAPPI 29(11):50-56.
46. Noreus, S.E.O. and O. Samuelson. 1970. Swedish Pat. Application 6569.
47. Oki, T., H. Ishikawa and K. Okubo. 1978. Characteristics of oxidative degradation of lignin by peroxide and oxygen•alkali methods. Jour. of Japan wood Res. Soc. 24(6):406-414.
48. Oki, T., K. Okubo and H. Ishikawa. 1976. On the molecular oxygen•alkali degradation of guaiacylglycerol- β -guaiacyl ether derivatives. Jour. of Japan wood Res. Soc. 22(2):98-105.
49. Olm, L. and G. Tistad. 1979. Kinetics of the initial stage of kraft pulping. Svensk Papperstidn 82:458-464.
50. Olm, L. and A. Teder. 1979. The Kinetics of oxygen bleaching. TAPPI 62(12):43-46.
51. Pal, D. and O. Samuelson. 1976. Oxygen•alkali cooking of wood meal. Part 9. *Eucalyptus saligna* and *Eucalyptus globulus*. Svensk Papperstidn 16:531-536.
52. Phillips, R.B. and D.C. McIntosh. 1976. Microscopic characterization of paper and fiber properties of linerboard yield soda•oxygen/alkali and kraft pulps. TAPPI 58(2):56-79.
53. Robert, A., P. Traynard and C. Martin-Borret. 1964. French Pat. 1, 387, 853.
54. Sogo, M. and K. Hata. 1973. Studies on soda•oxygen pulping of wood. III. Behavior of lignin during soda•oxygen pulping process. Japan TAPPI 27(4):17-27.
55. Sogo, M. and K. Hata. 1974. Studies on soda•oxygen pulping of wood. VI. On the degradation of the milled wood lignin from *Pinus densiflora* during the oxygen•alkali cooking. Japan TAPPI 28(8):45-53.
56. Thompson, N.S. and H.M. Corbett. 1976. The effect of oxygen consumption during bleaching on the properties of a southern pine kraft pulp. TAPPI 59(3):78-80.
57. Worster, H.E. and M.F. Pudex. 1974. Delignification of high yield sodium sulfite pulps with alkali and oxygen. TAPPI 57(3):138-141.
58. Yean, W.Q. and D.A.I. Goring. 1968. Molecular properties of sodium lignosulphonates by a continuous flow bisulfite process. Svensk Papperstidn 20:739-743.
59. Yrjala, I.A., L.J. Suoninen and P.I. Padsonen. 1978. Oxygen delignification at low-consistency. Pulp Paper Can. 79(4):39-43.